

量子計算実験基礎

阿部英介

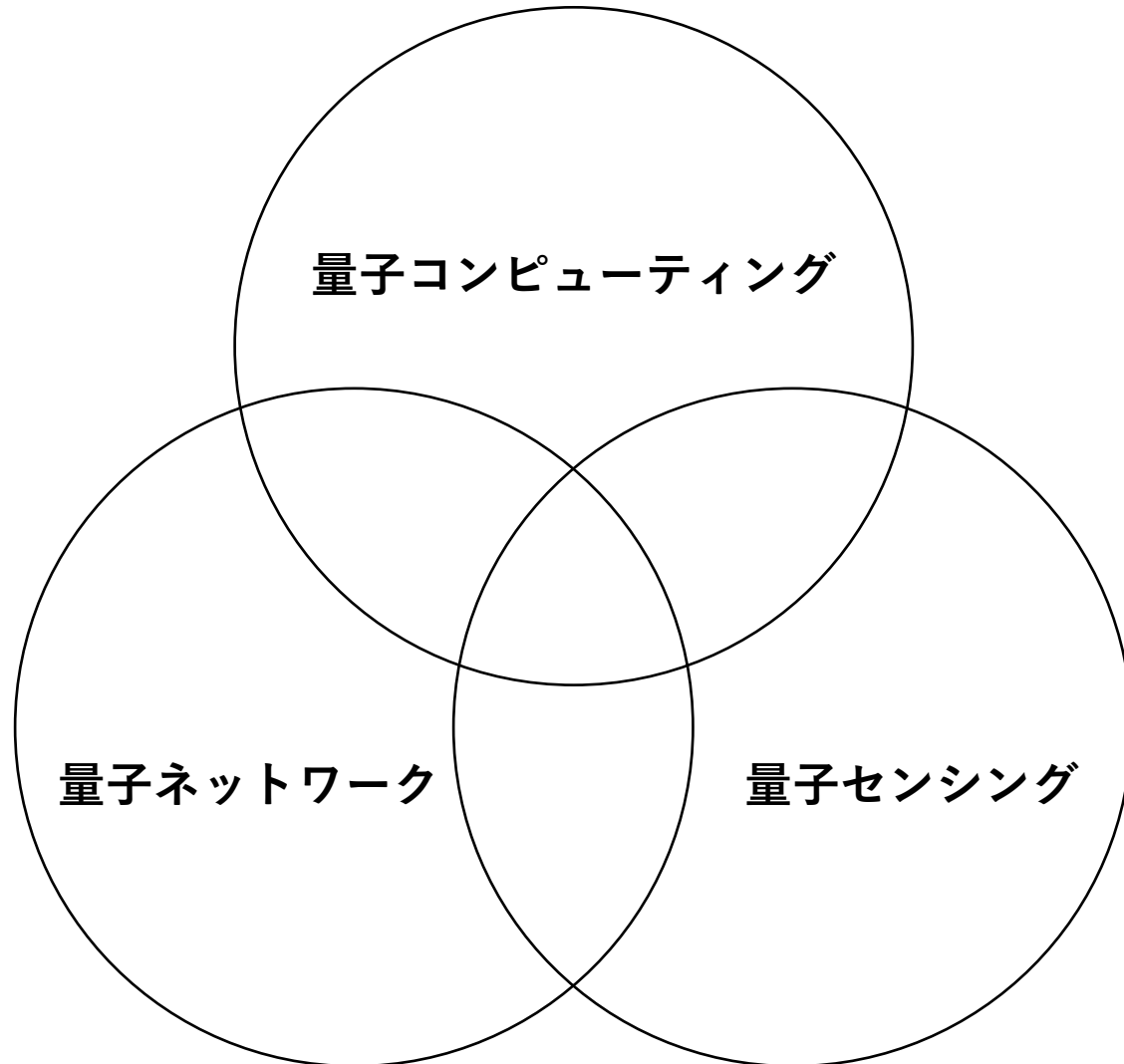
慶應義塾大学スピントロニクス研究センター

2018年7月31日@UT ISSP

物性研究所短期研究会「量子情報・物性の新潮流」
—量子技術が生み出す多様な物性と情報処理技術—

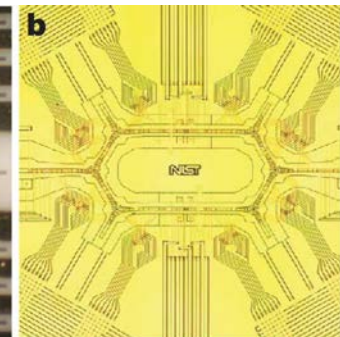
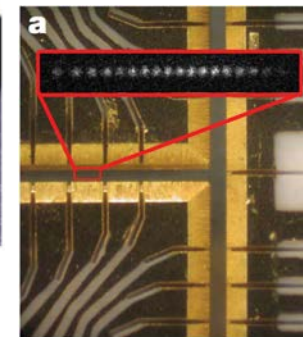
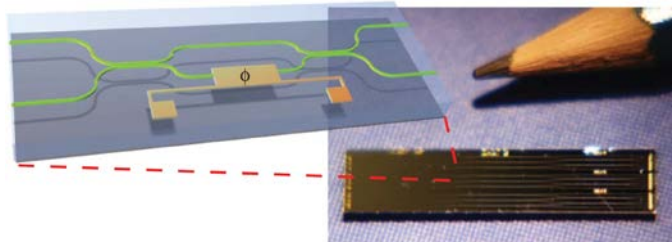


量子技術

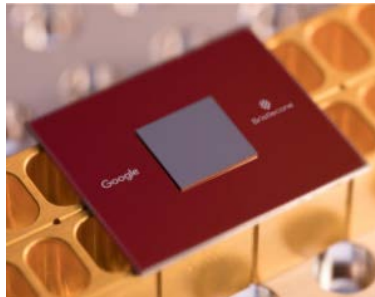


量子技術のプラットフォーム

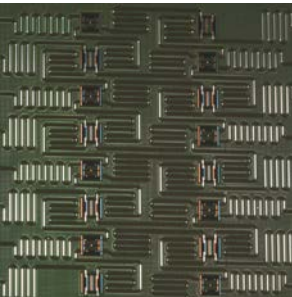
光回路



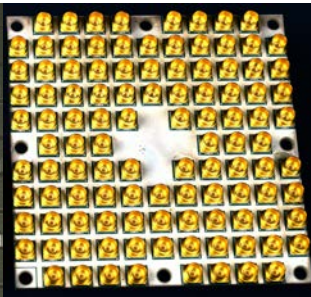
超伝導回路



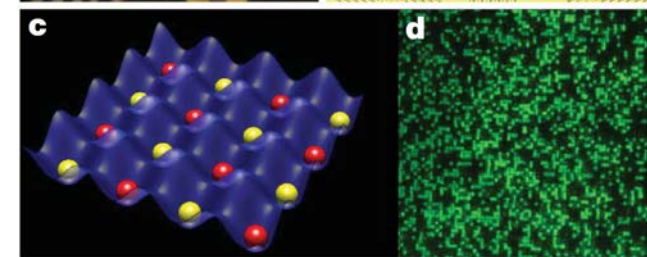
©Google



©IBM

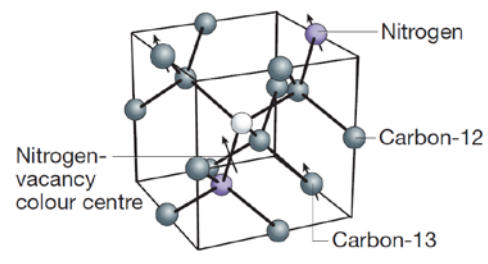
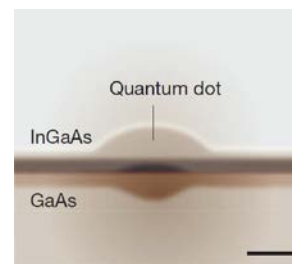
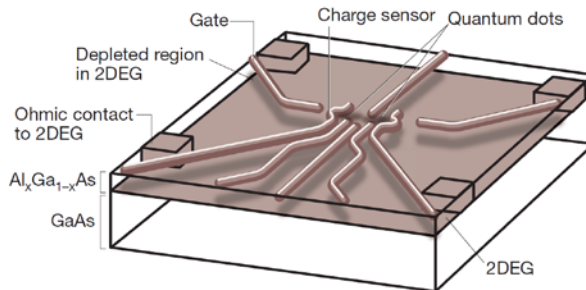
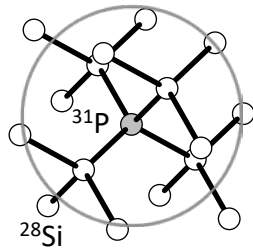


©Intel



捕捉イオン/冷却原子

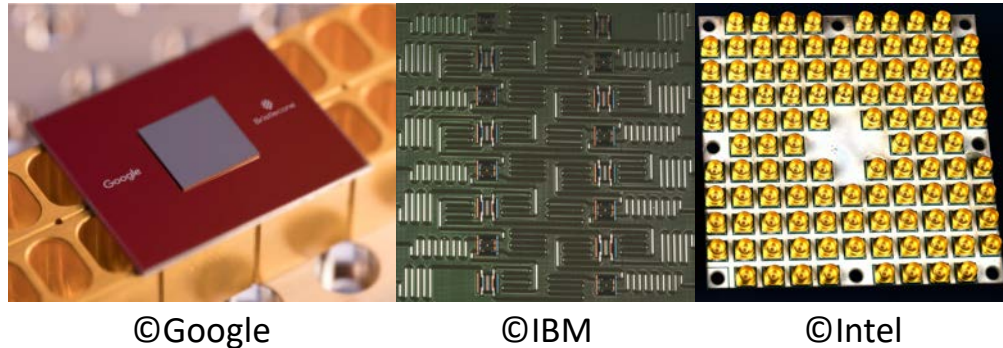
半導体スピン



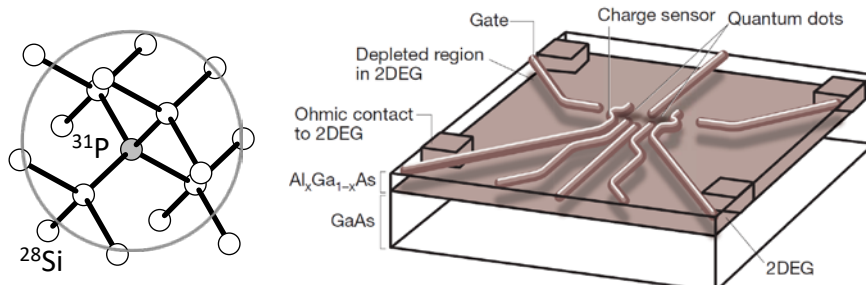
Nature 464, 45 (2010) Ladd et al.

“固体量子情報デバイスの現状と将来展望 －万能ディジタル量子コンピュータの実現に向けて”

超伝導回路

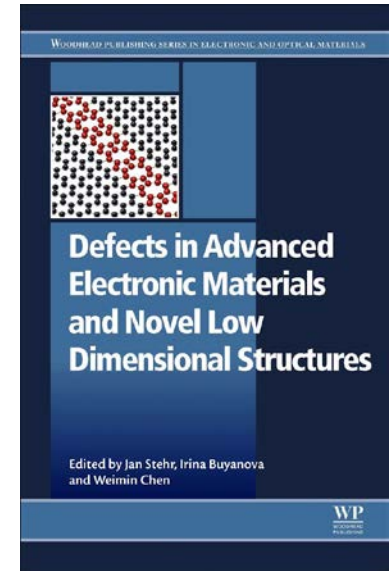


半導体スピニン

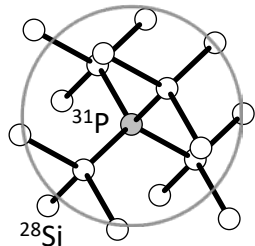


Defects in Advanced Electronic Materials and Novel Low Dimensional Structures, P.241–263, Abe & Itoh

“Defects for quantum information processing in silicon”



半導体スピニン



(June, 2018)

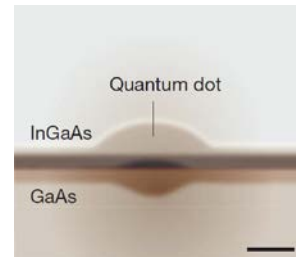
固体物理 **48 (11)**, 541 (2013) 山本 & 阿部

“光制御量子ドットスピニンを用いた量子情報システム の現状と将来展望”

光技術コンタクト **51 (5)**, 10 (2013) 阿部

“量子中継と量子ドットスピニン-光子間量子もつれ”

半導体スピニン



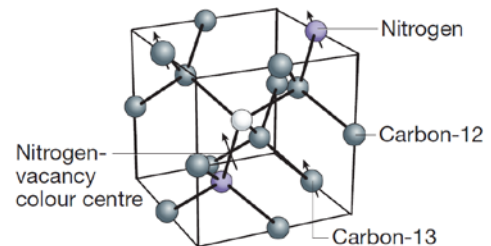
NEW DIAMOND 33 (2), 3 (2017) 阿部 & 伊藤

“スピントロニクス研究の原点からダイヤモンド
でのトレンド, 今後の展開まで”

J. Appl. Phys. 123, 161191 (2018) Abe & Sasaki

“Tutorial: Magnetic resonance with nitrogen-vacancy centers in diamond
—microwave engineering, materials science, and magnetometry”

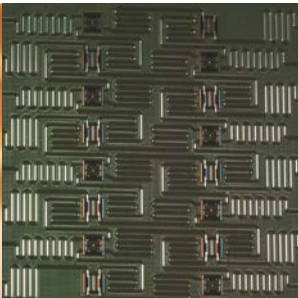
半導体スピノン



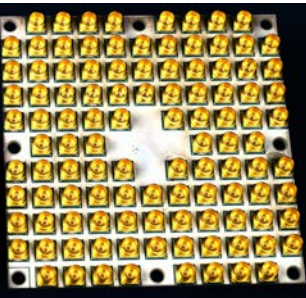
超伝導回路



©Google

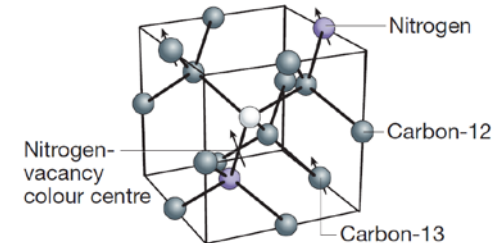
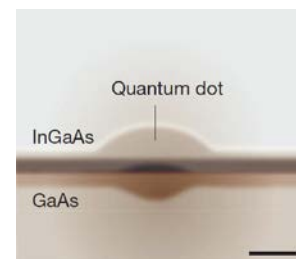
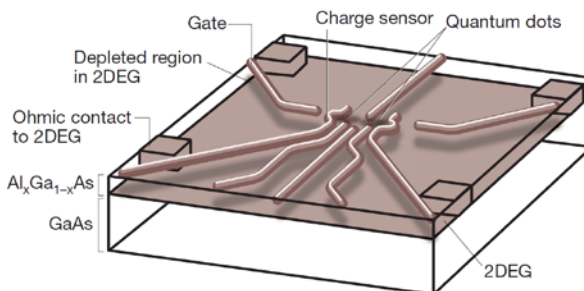
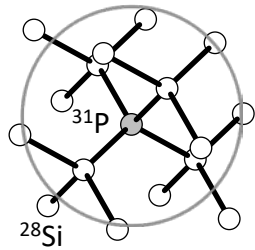


©IBM



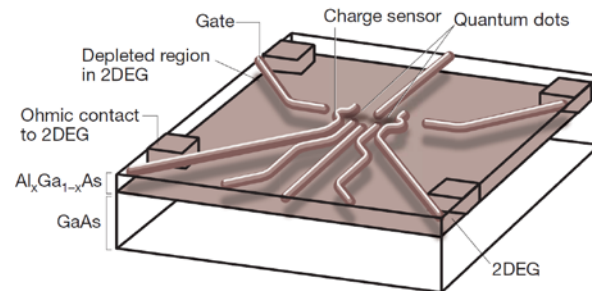
©Intel

半導体スピン

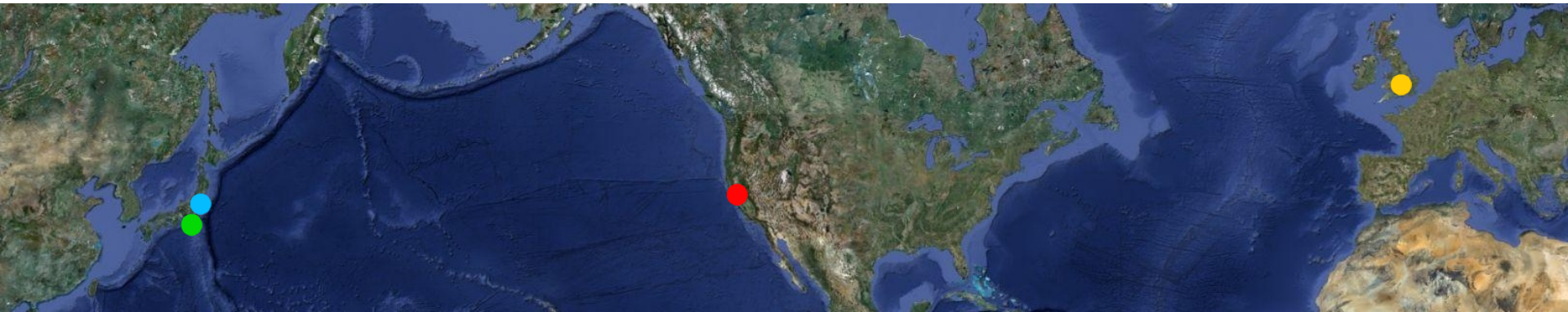


本チュートリアルでは シリコン量子ドット系について解説

半導体スピノン



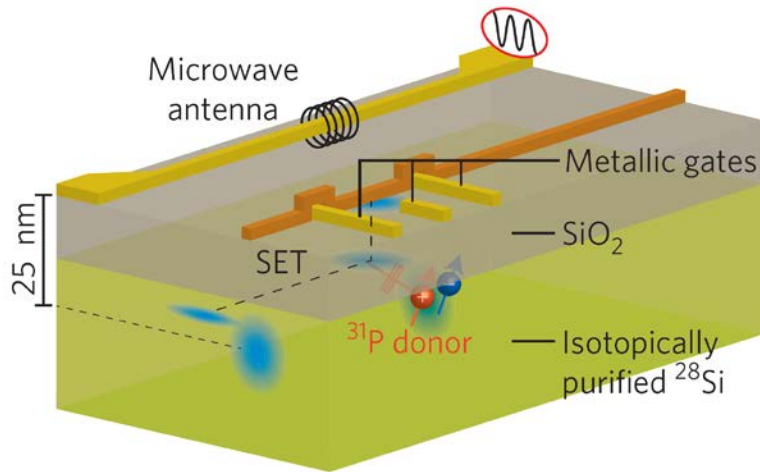
略歴



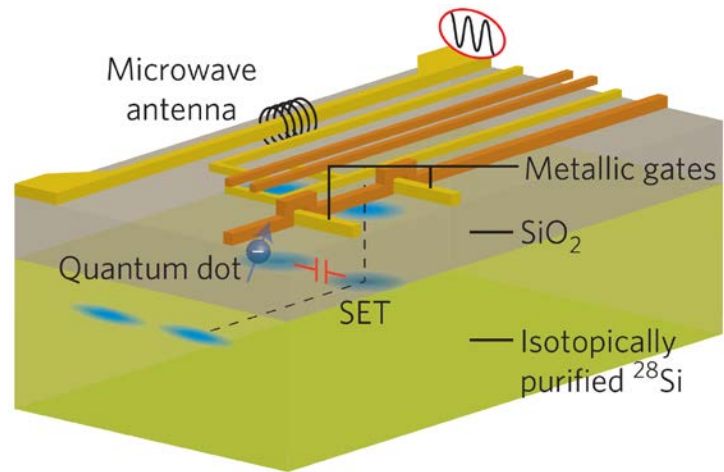
©Google Earth

- **2001.4 – 2006.3 慶應義塾大学**
 - シリコン(スピンドルヒーレンス)
- **2006.4 – 2009.12 東京大学物性研究所**
 - 半導体&超伝導ナノ構造(量子輸送・マイクロ波分光)
- **2010.1 – 2011.6 オックスフォード大学**
 - ハイブリッド系(スピントリニティ)
- **2011.7 – 2015.3 スタンフォード大学/理研**
 - 自己形成量子ドット(量子ネットワーク)
- **2015.4 – 現在 慶應義塾大学**
 - NV中心(量子センシング)

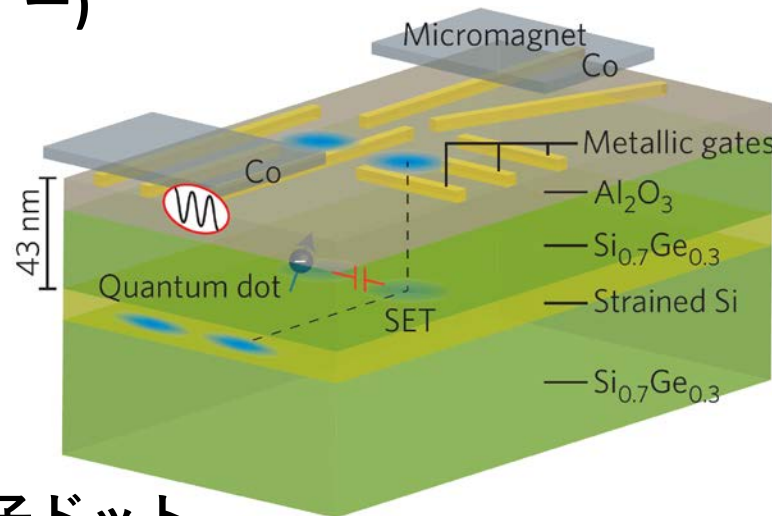
シリコンスピントラニジット



(単一リンドナー)



MOS量子ドット



Si/SiGe量子ドット

ディビンチェンゾの要請

1. スケーラブルな量子ビット列



2. 初期化

3. 長いコヒーレンス時間

4. ユニバーサル量子ゲート

5. 射影測定

D. DiVincenzo
(©RWTH Aachen U.)

ディビンチェンゾの要請

1. スケーラブルな量子ビット列

→ ?



2. 初期化

→ T_1 , スピン依存トンネル

D. DiVincenzo
(©RWTH Aachen U.)

3. 長いコヒーレンス時間

→ $T_{2e} = 10 \text{ s}$ (*1), $T_{2n} = 180 \text{ min}$ (*2)

*1: Nature Mat. **11**, 143 (2012) Tyryshkin *et al.*

4. ユニバーサル量子ゲート

→ 1,2量子ビット制御

*2: Science **342**, 830 (2013) Saeedi *et al.*

5. 射影測定

→ スピナー電荷変換

Fortschr. Phys. **48**, 771 (2000) DiVincenzo

ディビンチェンゾの要請

1. スケーラブルな量子ビット列

→ ?

2. 初期化

→ T_1 , スピン依存トンネル



D. DiVincenzo
(©RWTH Aachen U.)

3. 長いコヒーレンス時間

→ 表面符号による誤り耐性($T_2 \rightarrow \infty$)

4. ユニバーサル量子ゲート

→ 1,2量子ビット制御

5. 射影測定

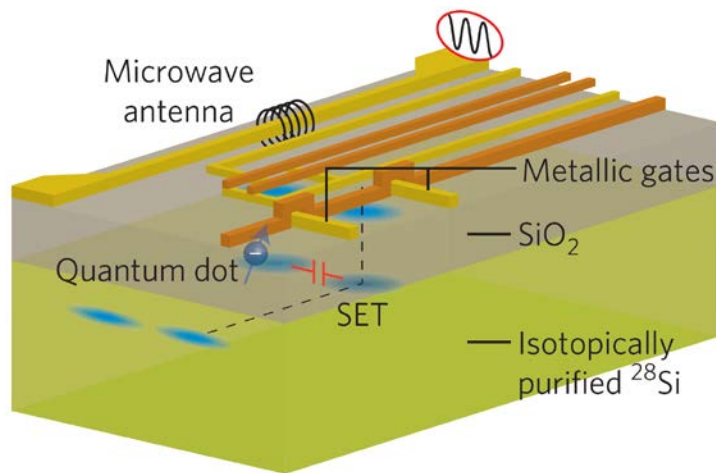
→ スピーン-電荷変換

量子ゲート

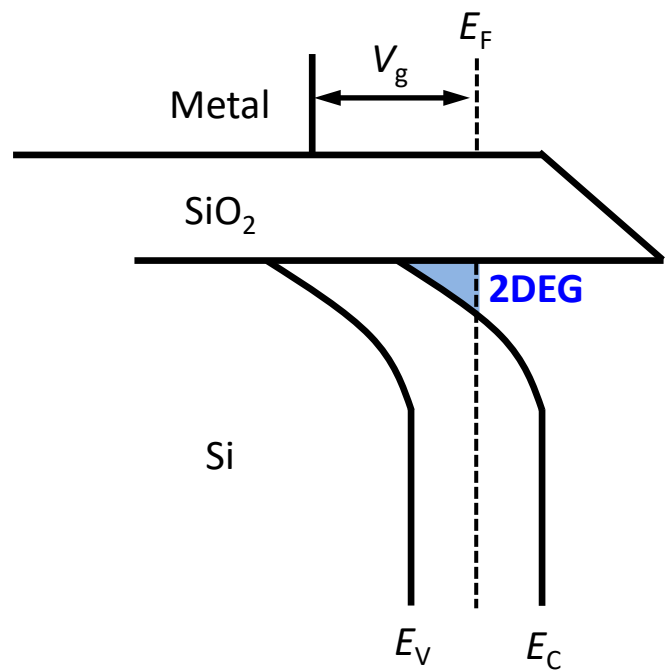
- **1量子ビットゲート**
 - 電子スピン共鳴によるX,Yゲート
 - 電気双極子スピン共鳴によるX,Yゲート
 - (ソフトウェアによるZゲート)

- **2量子ビットゲート**
 - 電圧パルスによるCZゲート
 - マイクロ波パルスによるCROTゲート

界面MOS構造



反転層の形成

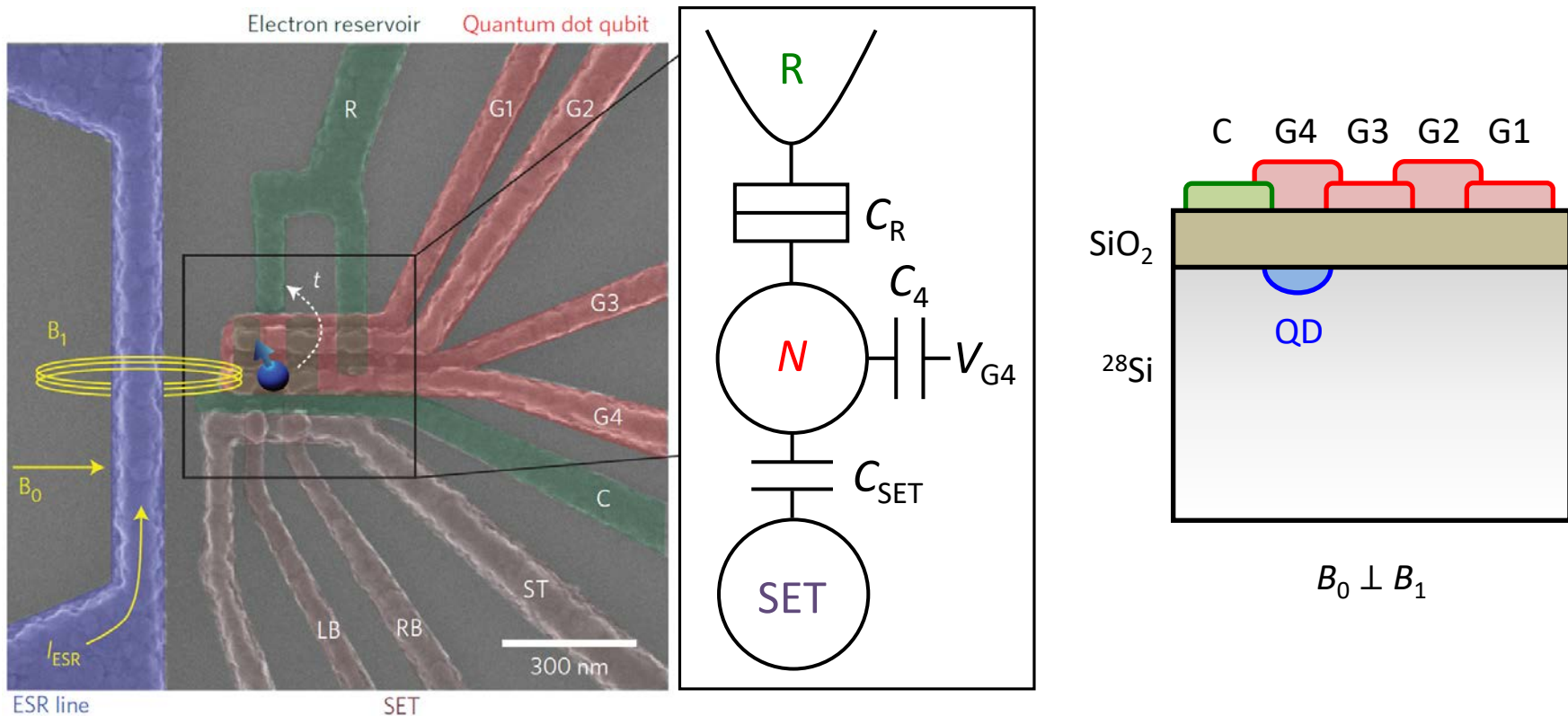


$$\begin{aligned} ^{28}\text{Si} : ^{29}\text{Si} (I = \frac{1}{2}) : ^{30}\text{Si} &= 92.2\% : 4.7\% : 3.1\% \\ \rightarrow ^{28}\text{Si} &= 99.2\% \end{aligned}$$

(L to R) J. Muhonen, A. Morello, M. Veldhorst, A. Dzurak

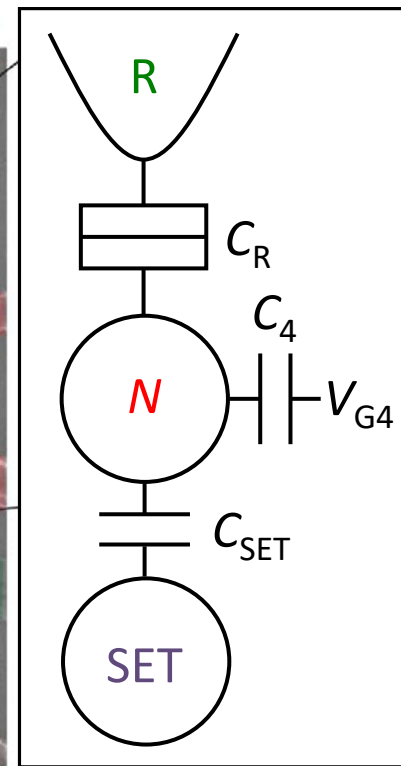
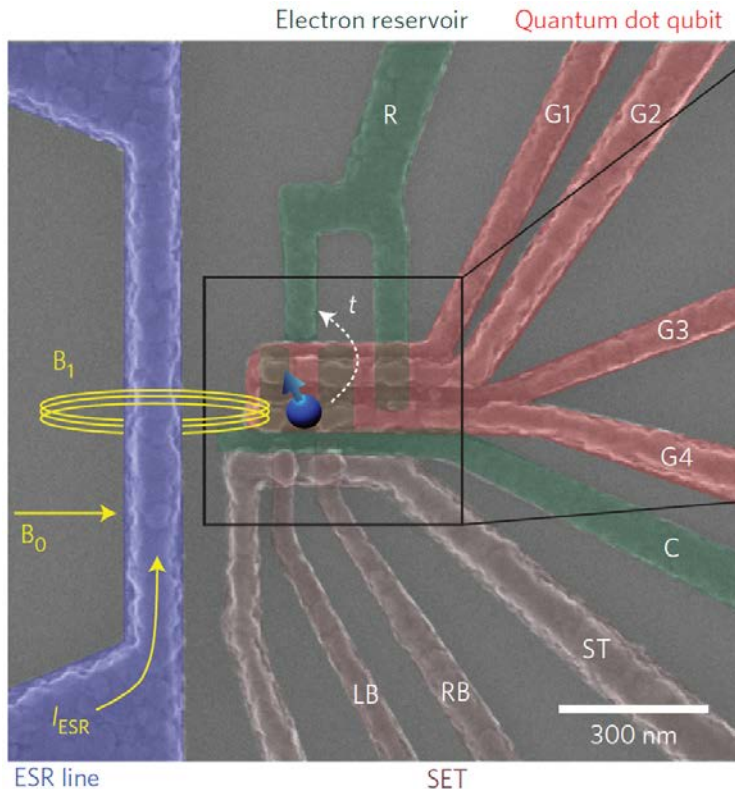
An addressable quantum dot qubit with fault-tolerant control-fidelity

M. Veldhorst^{1*}, J. C. C. Hwang¹, C. H. Yang¹, A. W. Leenstra², B. de Ronde², J. P. Dehollain¹, J. T. Muhonen¹, F. E. Hudson¹, K. M. Itoh³, A. Morello¹ and A. S. Dzurak^{1*}

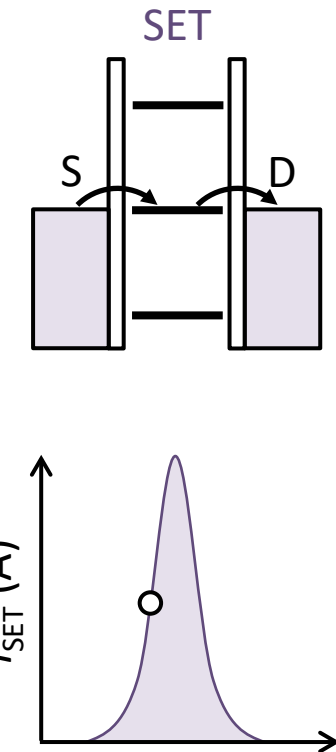


An addressable quantum dot qubit with fault-tolerant control-fidelity

M. Veldhorst^{1*}, J. C. C. Hwang¹, C. H. Yang¹, A. W. Leenstra², B. de Ronde², J. P. Dehollain¹, J. T. Muhonen¹, F. E. Hudson¹, K. M. Itoh³, A. Morello¹ and A. S. Dzurak^{1*}

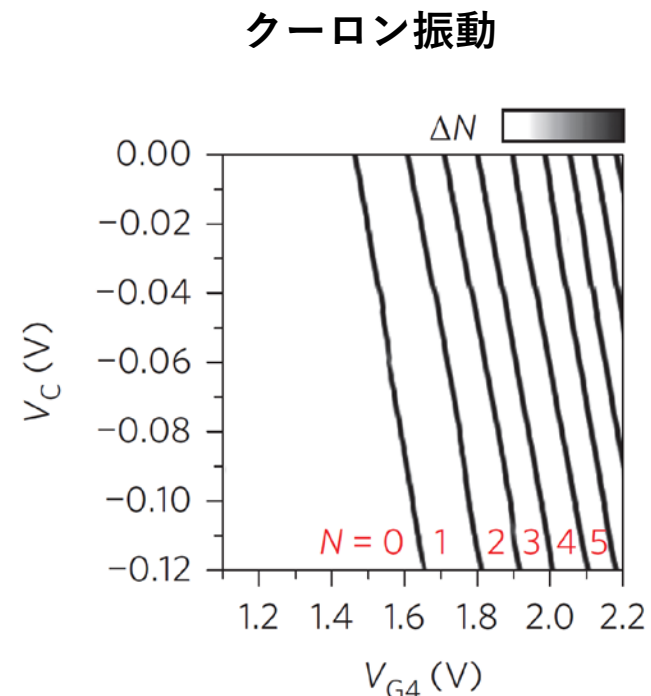
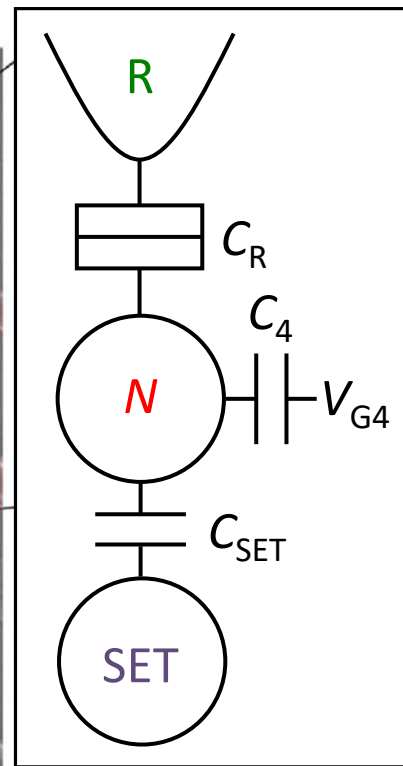
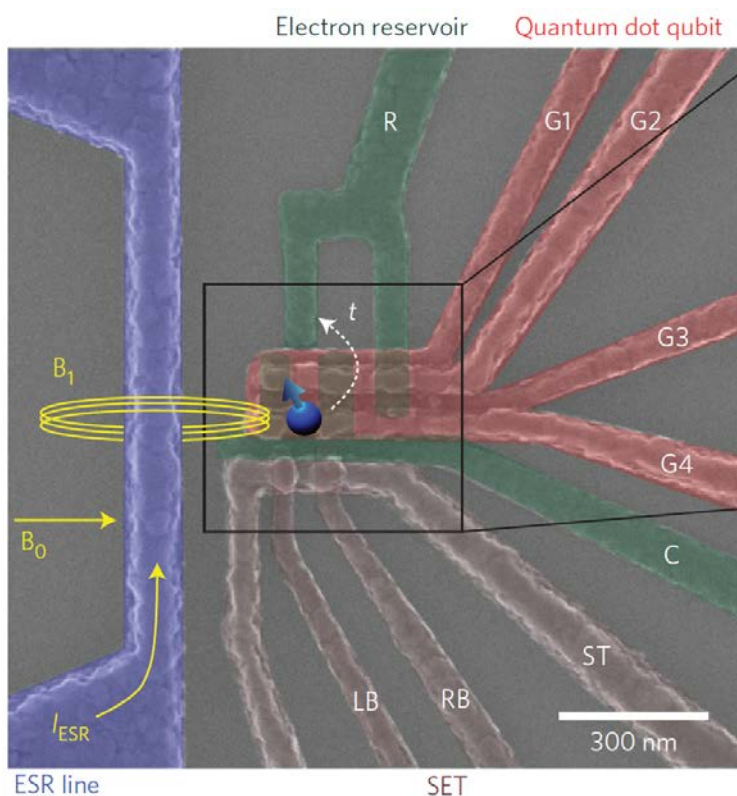


SET電荷センサ
QDの電子数変化に
鋭敏に応答

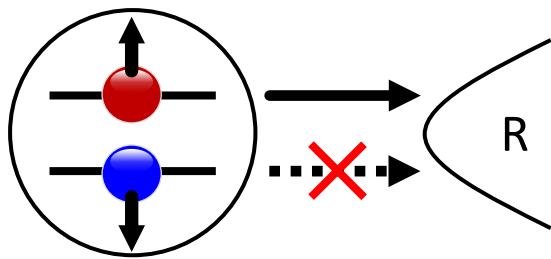


An addressable quantum dot qubit with fault-tolerant control-fidelity

M. Veldhorst^{1*}, J. C. C. Hwang¹, C. H. Yang¹, A. W. Leenstra², B. de Ronde², J. P. Dehollain¹, J. T. Muhonen¹, F. E. Hudson¹, K. M. Itoh³, A. Morello¹ and A. S. Dzurak^{1*}



スピント電荷変換



$N = 1$ QD
(\uparrow or \downarrow)

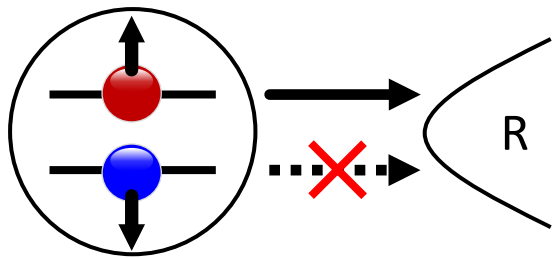
$$E_C \approx 1 \text{ meV}$$

$$E_{VS}(V_C) = 0.1\text{--}0.5 \text{ meV}$$

$$E_z = 39 \text{ GHz} = 160 \mu\text{eV} @ B_0 = 1.4 \text{ T}$$

$$T_{\text{base}} = 50 \text{ mK} = 4 \mu\text{eV}$$

スピノン測定(↓)



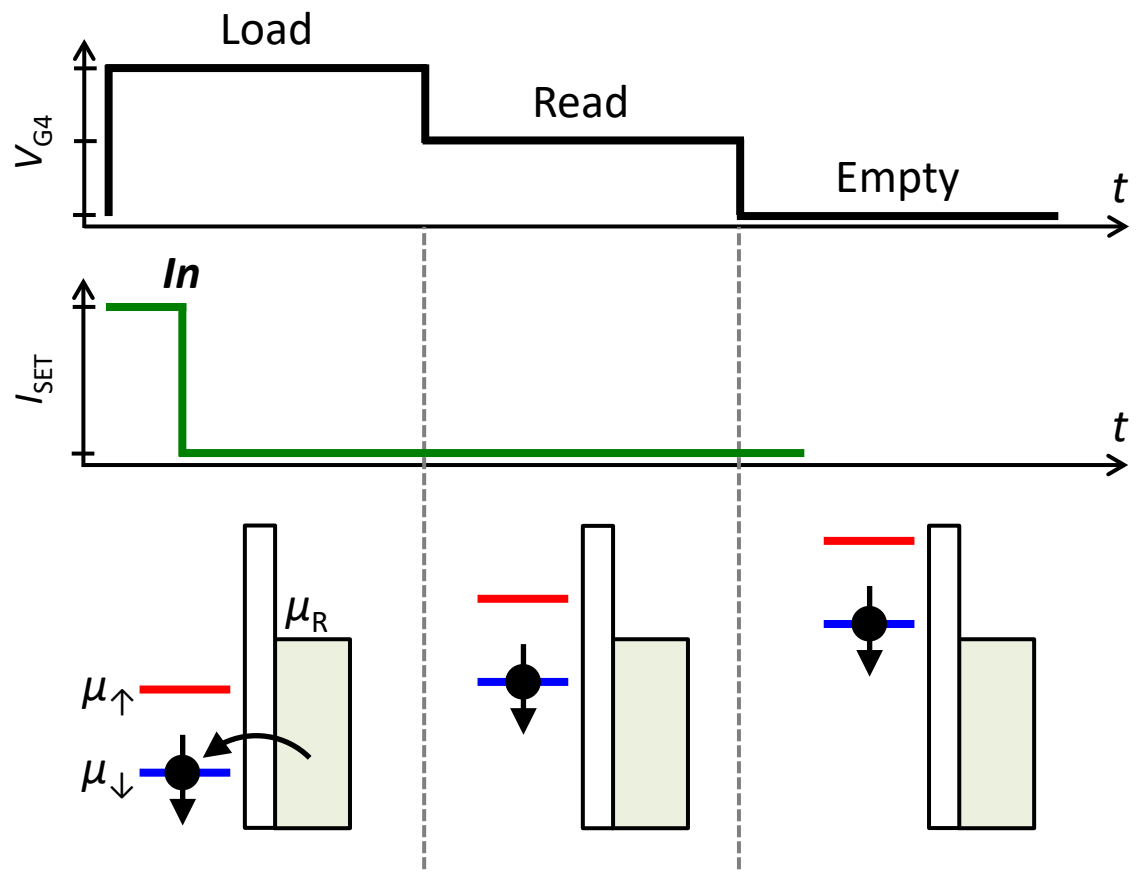
$N = 1$ QD
(\uparrow or \downarrow)

$E_C \approx 1$ meV

$E_{VS}(V_C) = 0.1\text{--}0.5$ meV

$E_z = 39$ GHz = 160 μ eV @ $B_0 = 1.4$ T

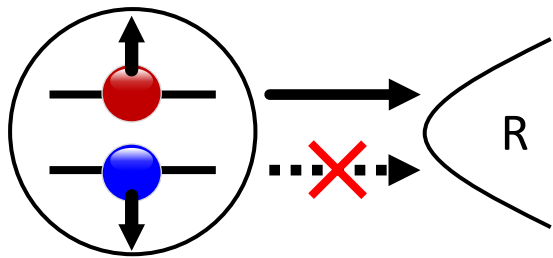
$T_{base} = 50$ mK = 4 μ eV



(GaAs QD) Nature 430, 431 (2004) Elzerman *et al.*

(P donor) Nature 497, 687 (2010) Morello *et al.*

スピノン測定(↓)



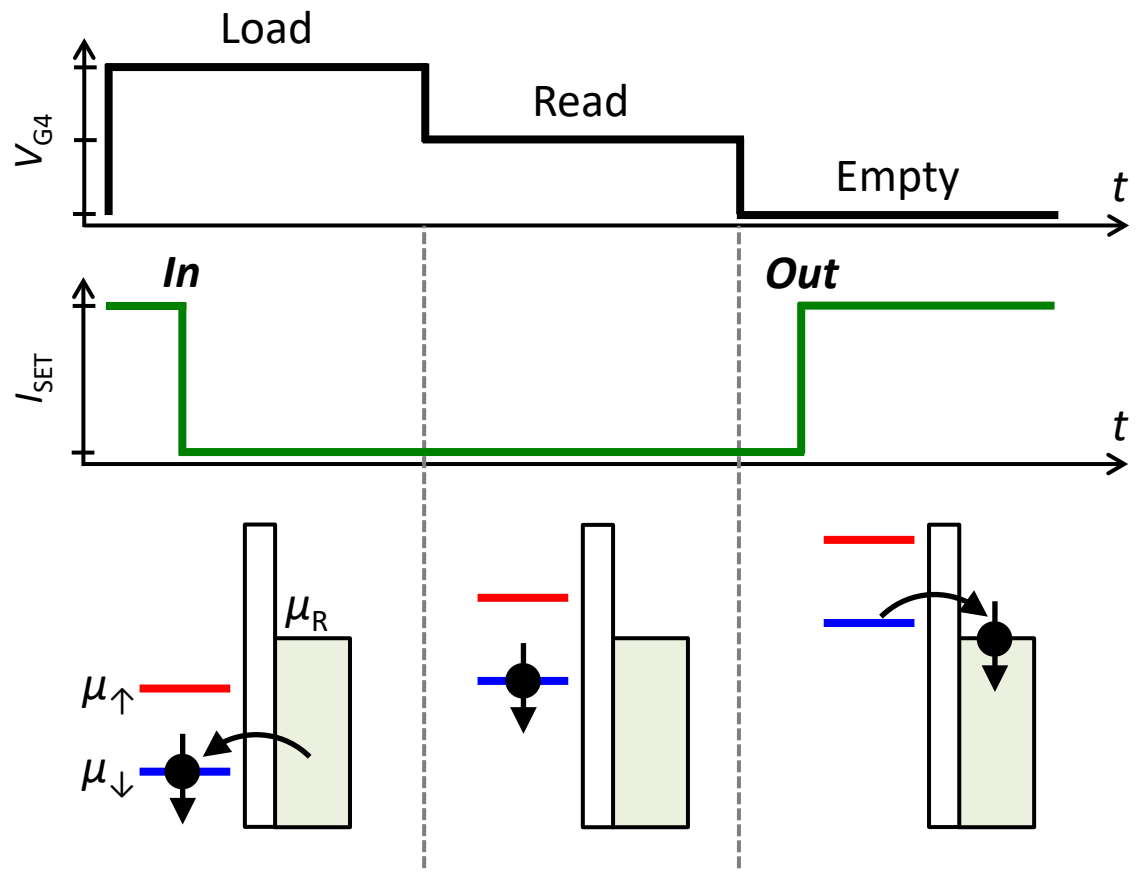
$N = 1$ QD
(↑ or ↓)

$E_C \approx 1$ meV

$E_{VS}(V_C) = 0.1\text{--}0.5$ meV

$E_z = 39$ GHz = 160 μ eV @ $B_0 = 1.4$ T

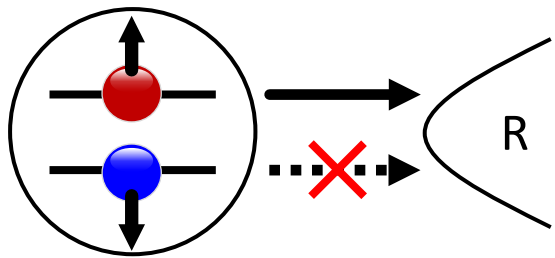
$T_{base} = 50$ mK = 4 μ eV



(GaAs QD) Nature 430, 431 (2004) Elzerman *et al.*

(P donor) Nature 497, 687 (2010) Morello *et al.*

スピノン測定(↑)



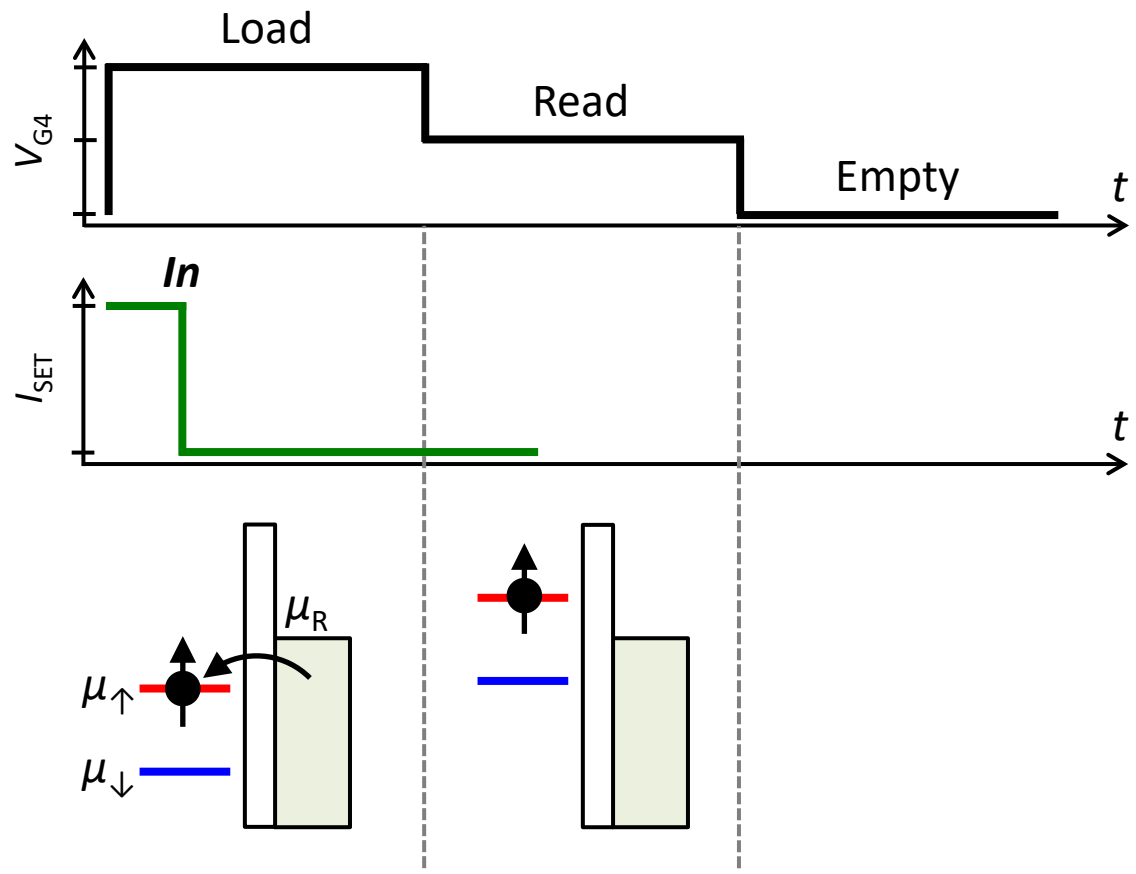
$N = 1$ QD
(\uparrow or \downarrow)

$E_C \approx 1$ meV

$E_{VS}(V_C) = 0.1\text{--}0.5$ meV

$E_z = 39$ GHz = 160 μ eV @ $B_0 = 1.4$ T

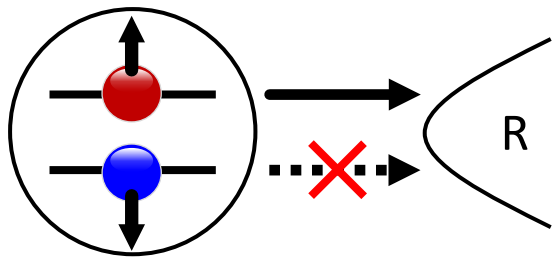
$T_{base} = 50$ mK = 4 μ eV



(GaAs QD) Nature **430**, 431 (2004) Elzerman *et al.*

(P donor) Nature **497**, 687 (2010) Morello *et al.*

スピノン測定(↑)



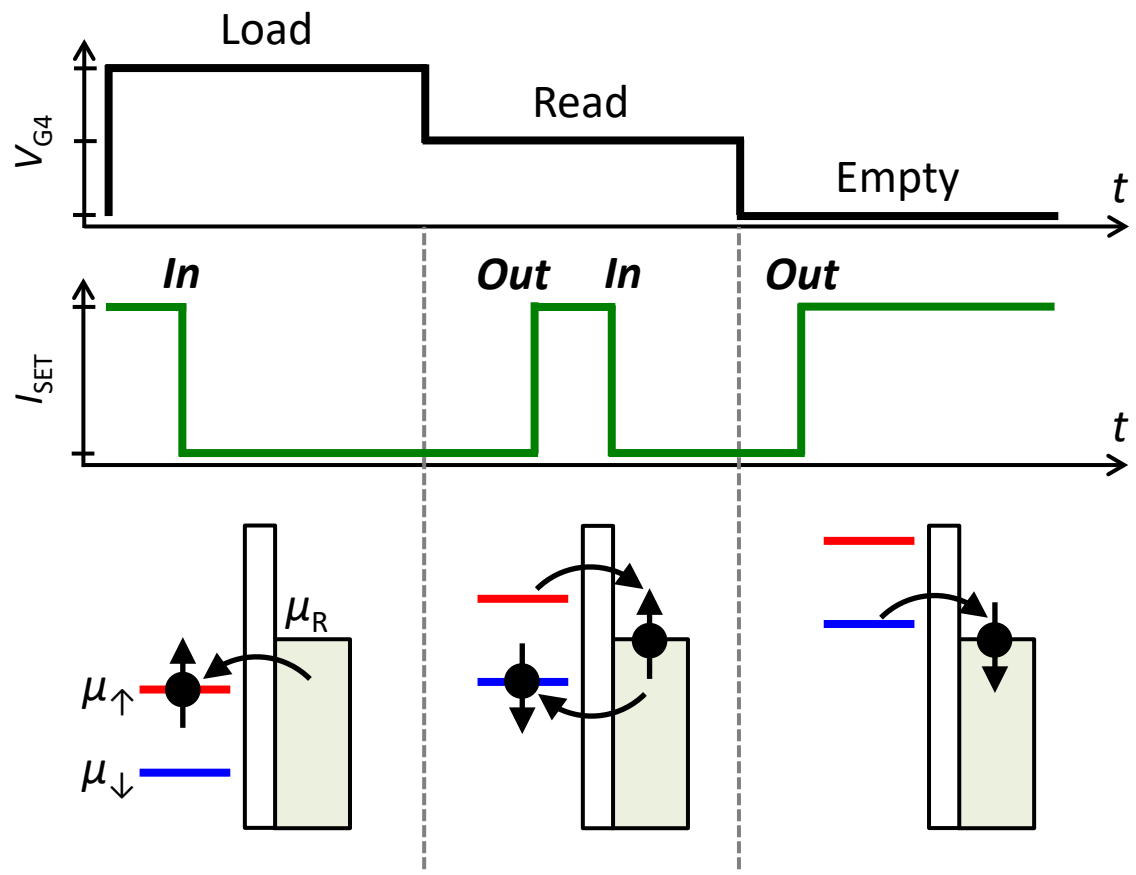
$N = 1$ QD
(\uparrow or \downarrow)

$E_C \approx 1$ meV

$E_{VS}(V_C) = 0.1\text{--}0.5$ meV

$E_z = 39$ GHz = 160 μ eV @ $B_0 = 1.4$ T

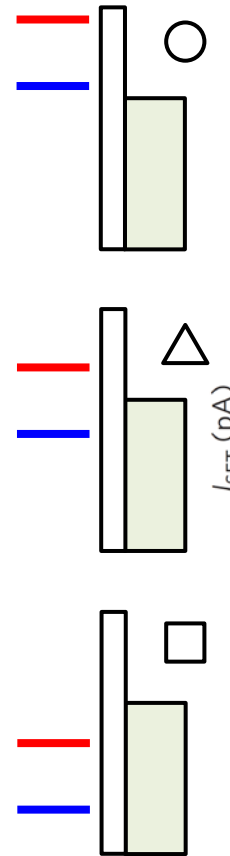
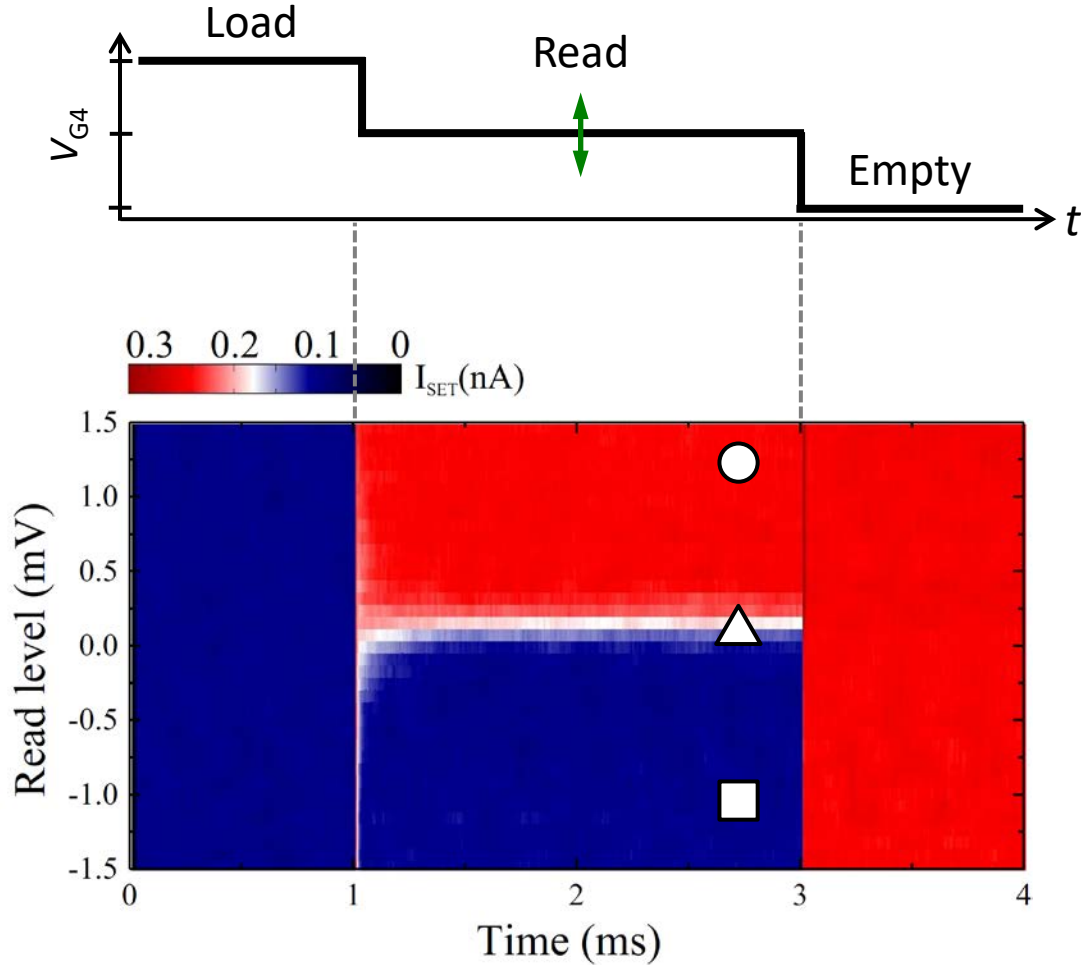
$T_{base} = 50$ mK = 4 μ eV



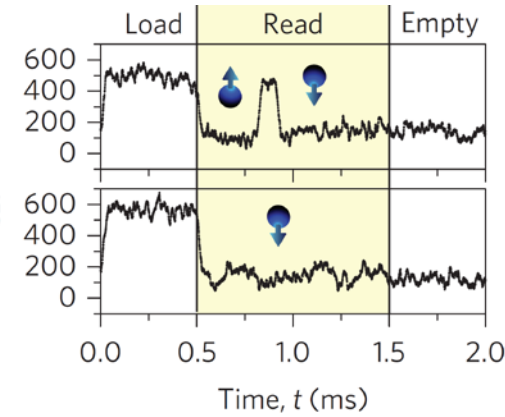
(GaAs QD) Nature **430**, 431 (2004) Elzerman *et al.*

(P donor) Nature **497**, 687 (2010) Morello *et al.*

電子スピン単発読み出し



単発事象

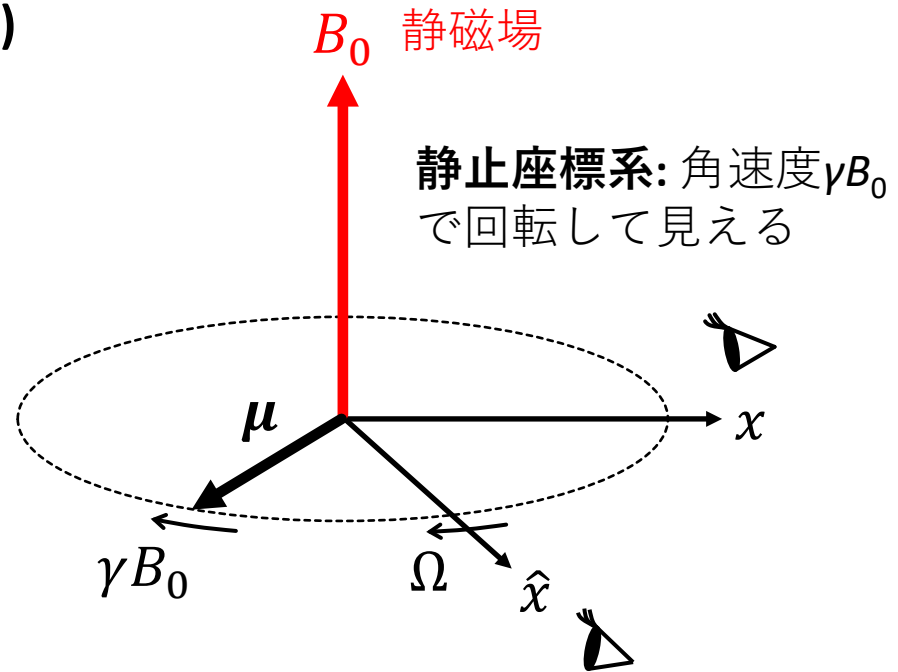


磁気共鳴

トルク方程式(ラーモア歳差運動)

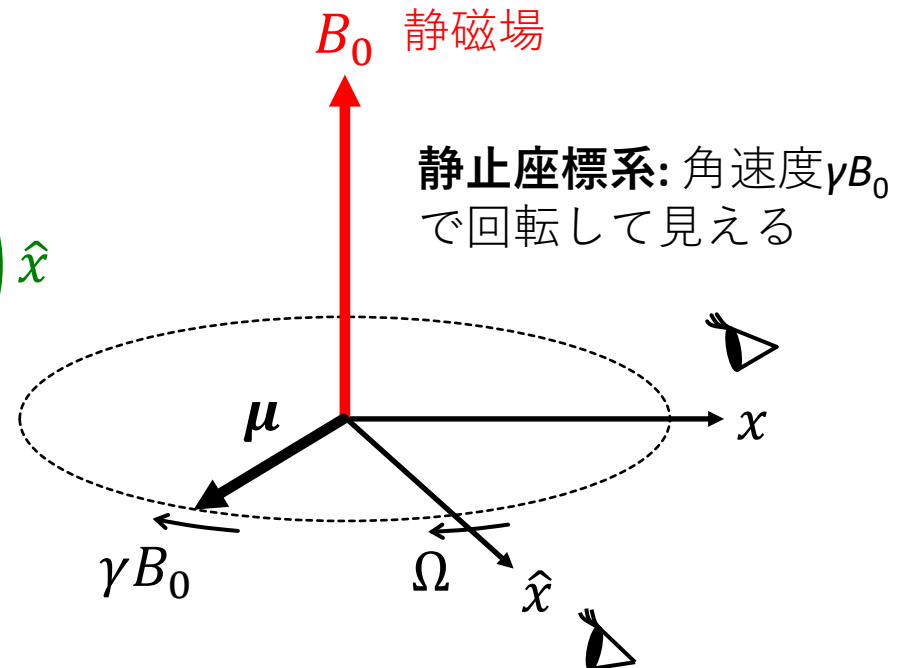
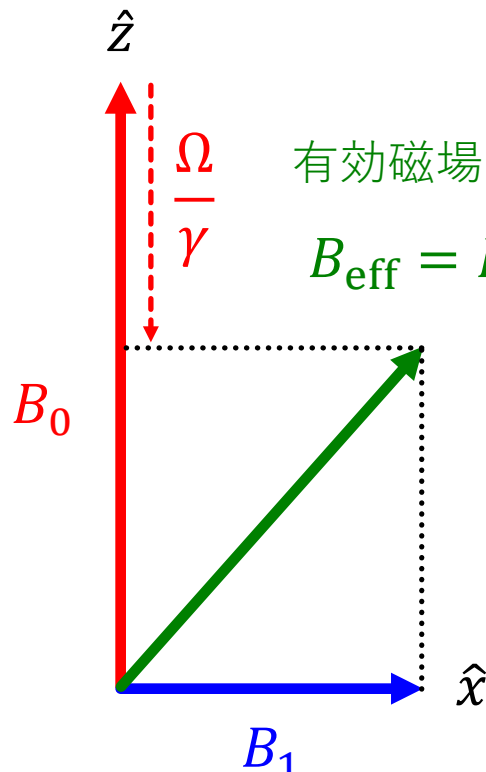
$$\frac{d\mu}{dt} = \mu \times \gamma B_0$$

↑ 磁気モーメント: $\mu = \gamma J$
↑ 磁気回転比



角速度 Ω で回転する座標系:
遅くなって見える。なぜ??

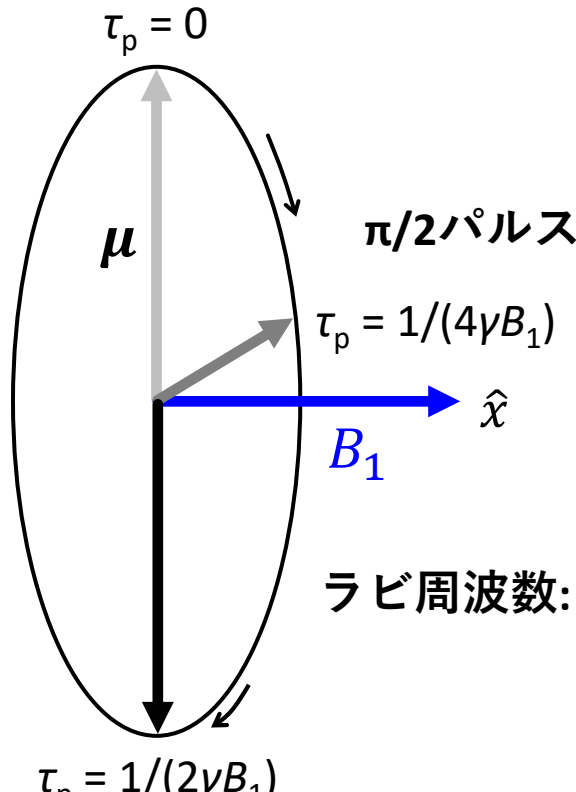
磁気共鳴



\downarrow
z方向の磁場が弱くなったから

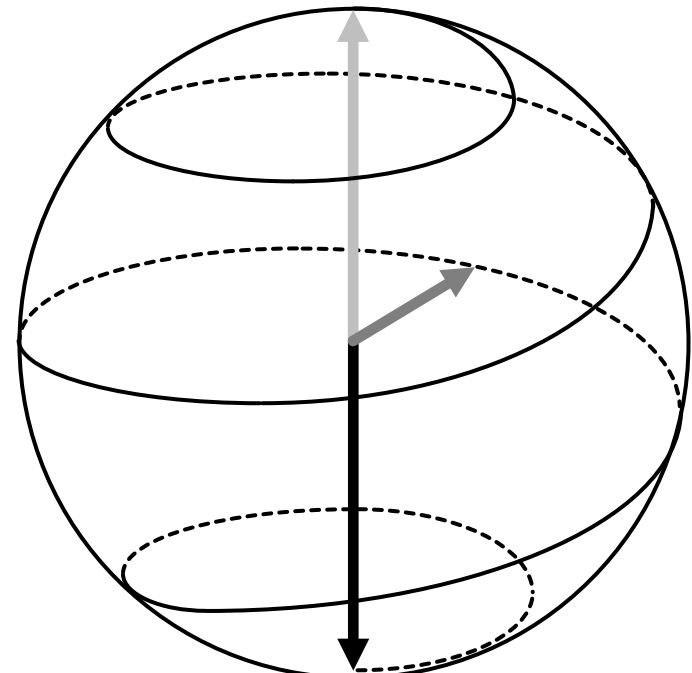
磁気共鳴

$\Omega = \gamma B_0$ で回転する座標系



ラビ周波数: $f_R = \gamma B_1$

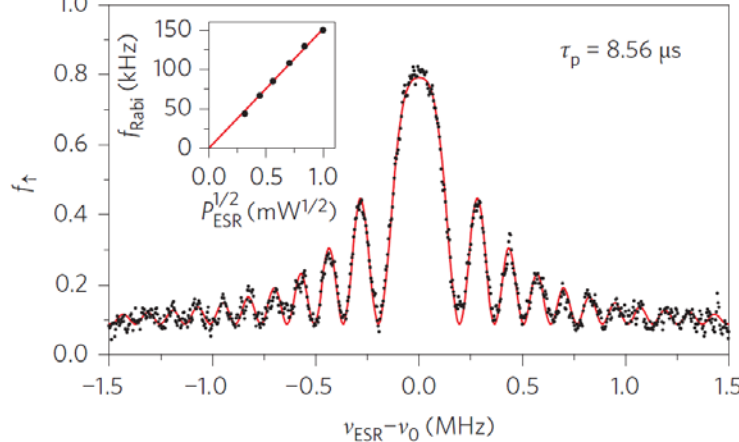
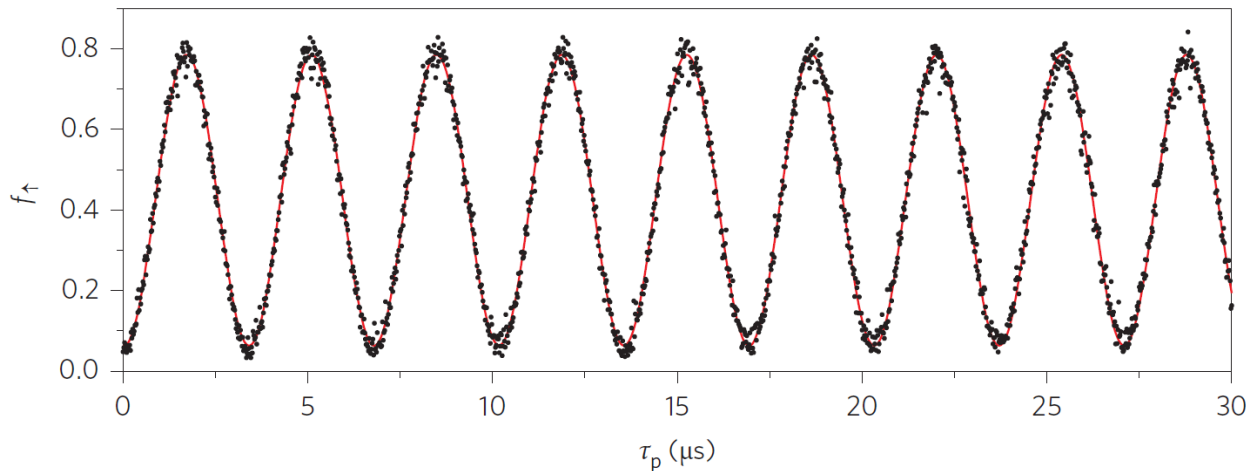
$\Omega \neq \gamma B_0$



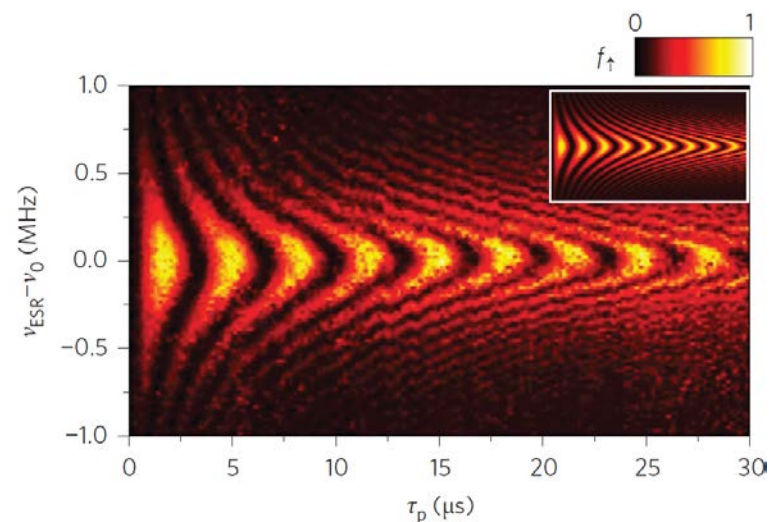
π パルス

- B_1 の向き(マイクロ波位相)により回転軸を調整
- 位相の定義を変えれば実効的な z 軸回転が加わる

ラビ振動

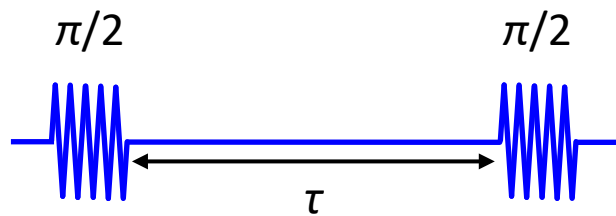


$$\nu_0 = 39.14 \text{ GHz} @ B_0 = 1.4 \text{ T}$$

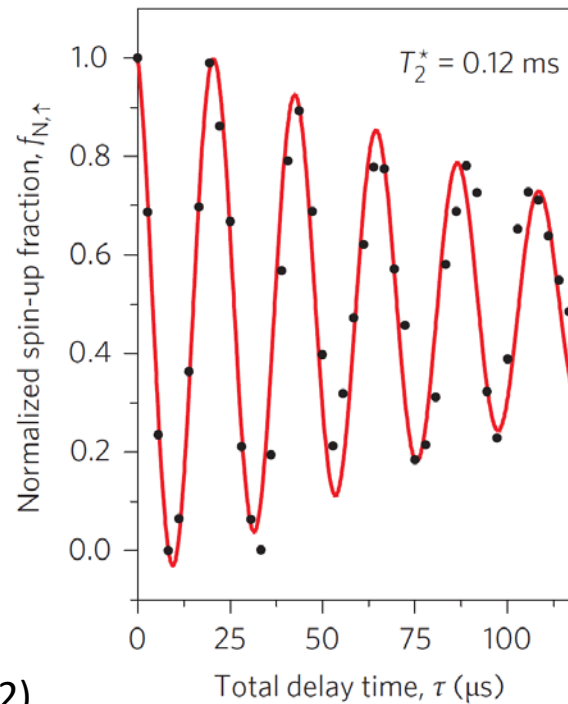
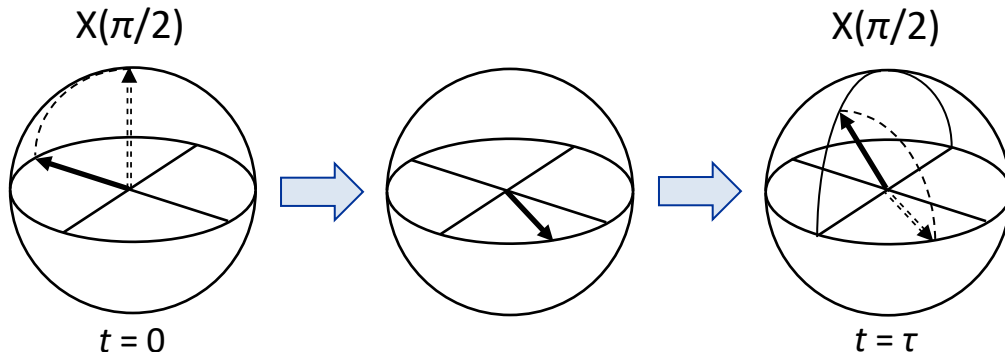


Nature Nano. 9, 981 (2014) Veldhorst et al.

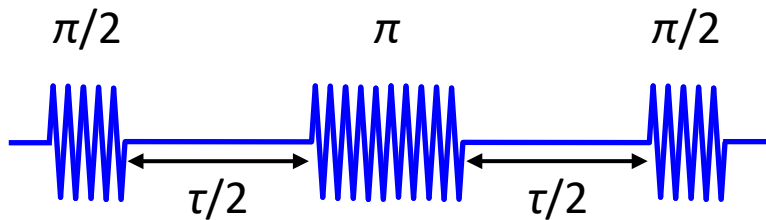
ラムゼー干渉: T_2^*



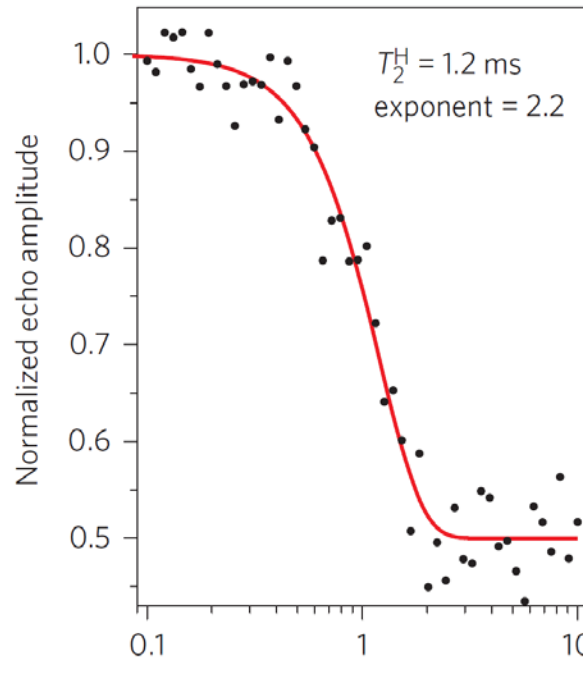
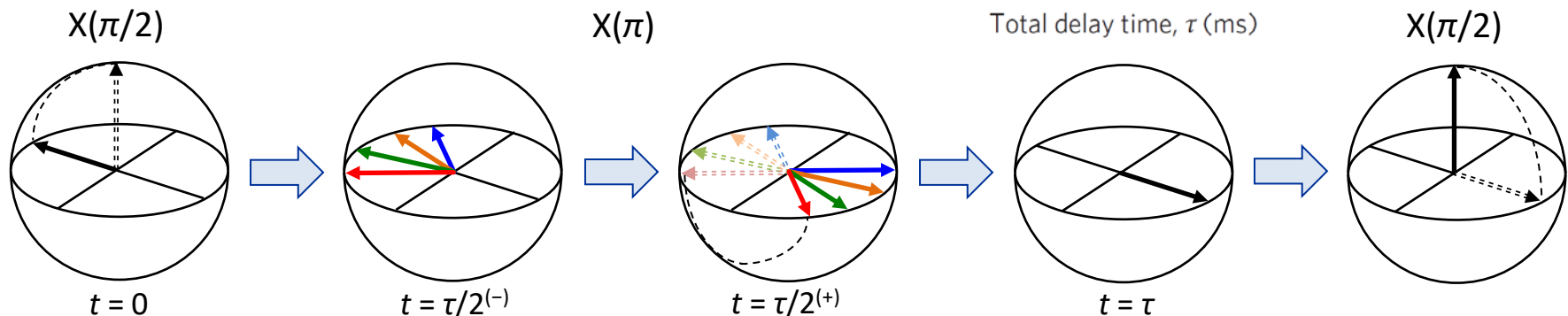
(共鳴から少し外れた回転系)



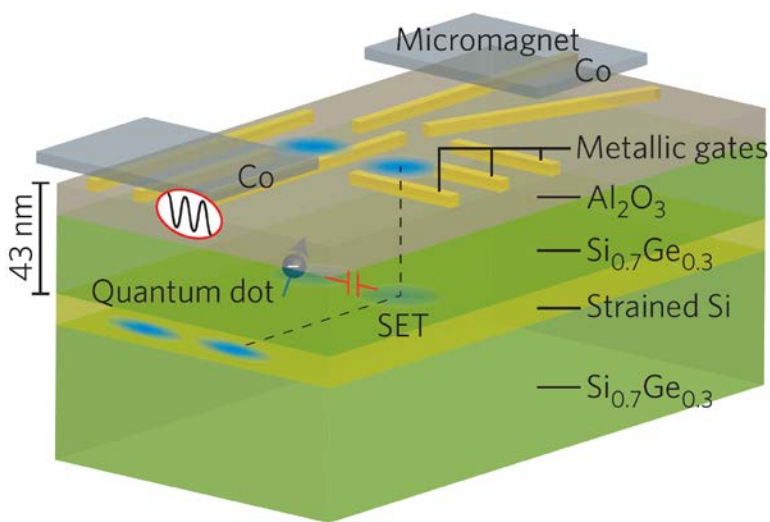
スピニエコー： T_2



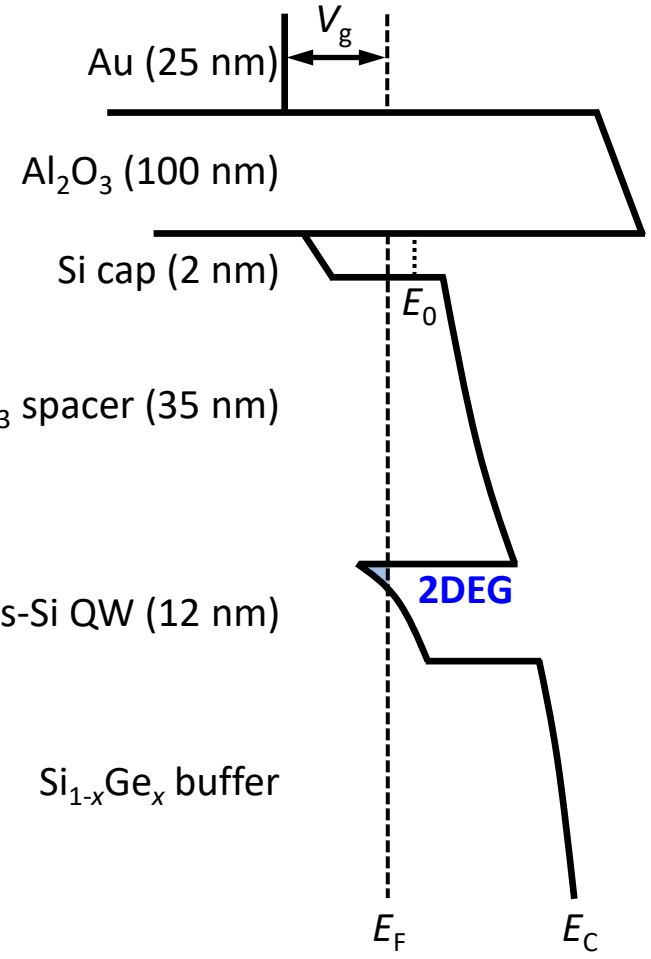
(共鳴周波数の回転系)



Si/SiGeへテ口構造



ノンドープ構造による蓄積型QD



L. Vandersypen
©QuTech, TU Delft)



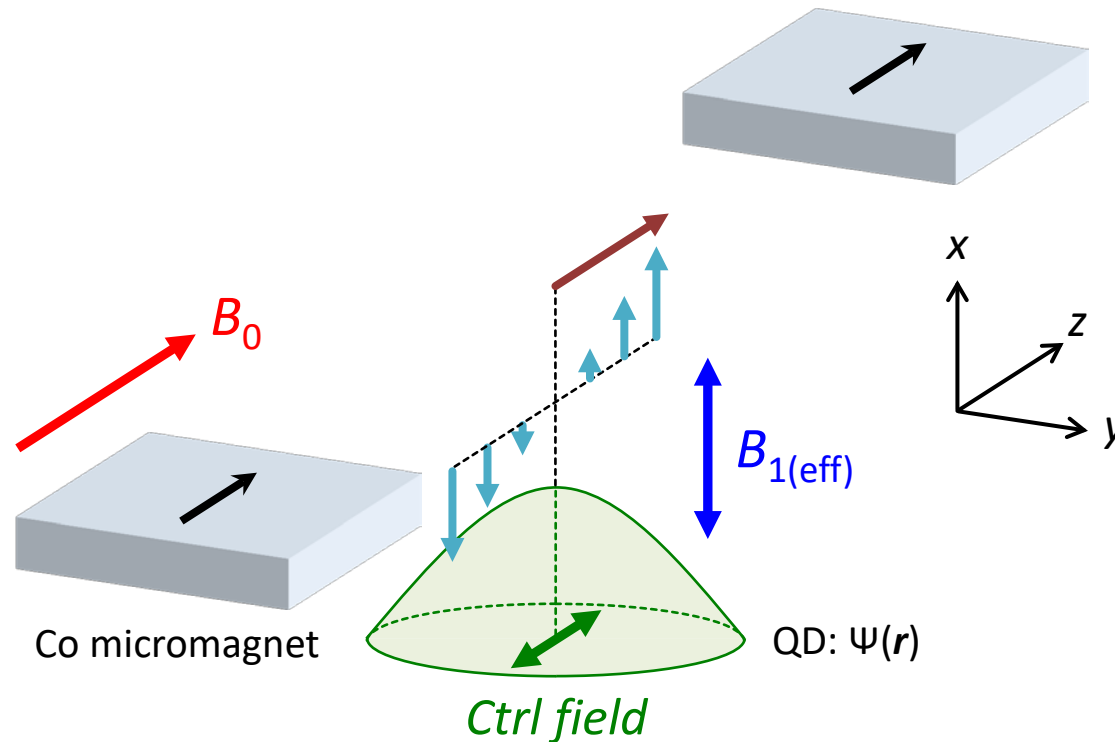
J. Petta
©Princeton)



S. Tarucha
©RIKEN)

電気双極子スピン共鳴

- $\pm z$ 方向に電子波動関数を“揺する”ことで x 方向に実効的な交流磁場を生成

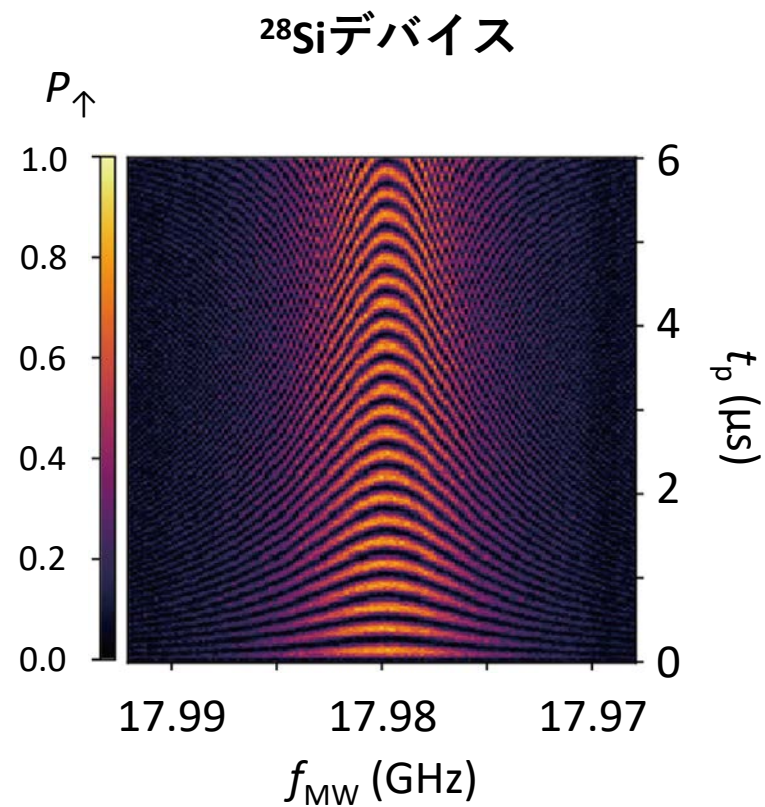
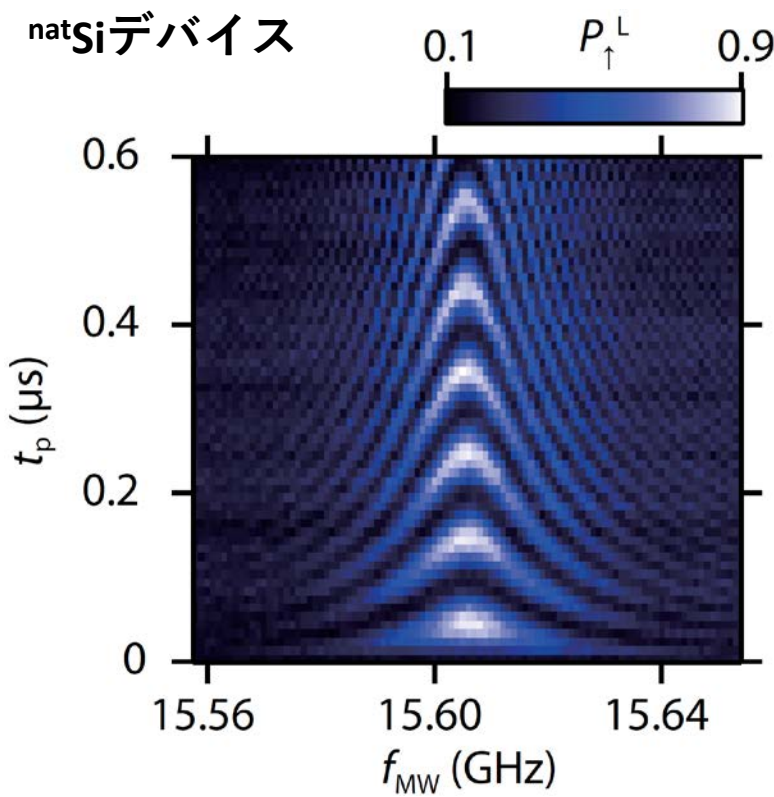


(Theory) Phys. Rev. Lett. **96**, 047202 (2006) Tokura *et al.*

(GaAs QD) Nature Phys. **4**, 776 (2008) Pioro-Ladrière *et al.*

(Magnet design) Appl. Phys. Express **8**, 084401 (2015) Yoneda *et al.*

電気双極子スピノン共鳴

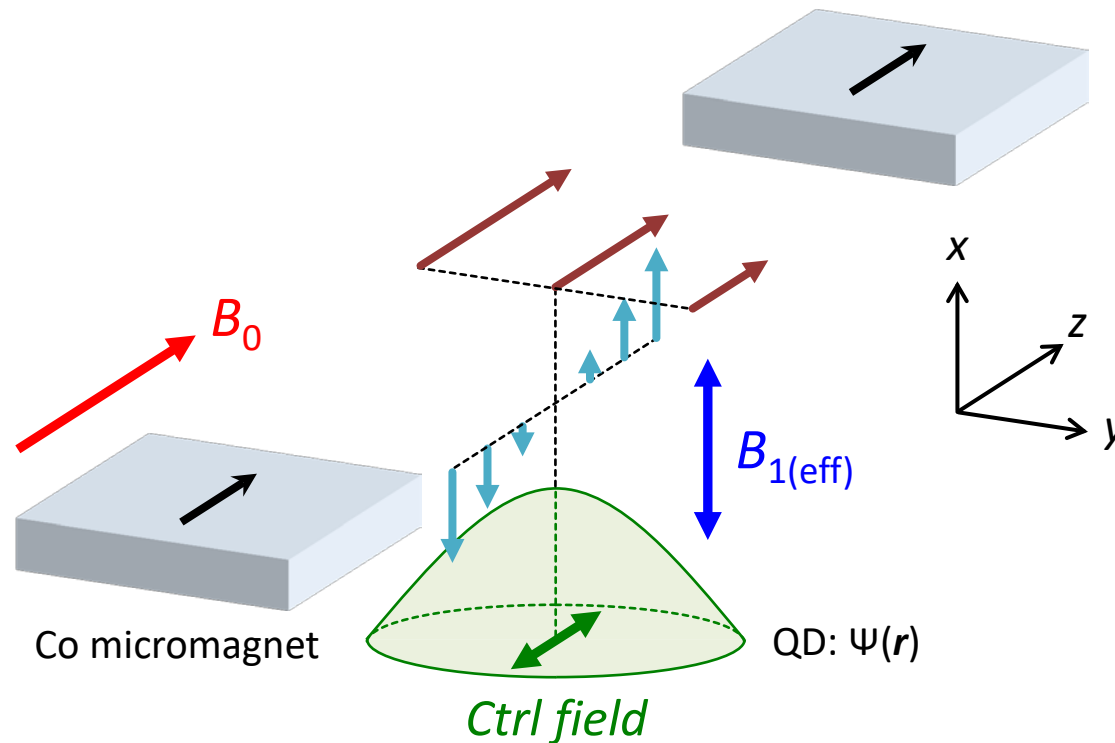


- ラビ周波数 $f_R \approx 30 \text{ MHz}$
- フィデリティ $F^{\text{RB}} = 99.6\% \rightarrow > 99.9\%$
- $T_2^* = 2 \mu\text{s} \rightarrow 20 \mu\text{s}, T_2^{\text{CPMG}} = 3.1 \text{ ms}$

Sci. Adv. **2**, e1600694 (2016) Takeda *et al.*
Nature Nano. **13**, 102 (2018) Yoneda *et al.*

電気双極子スピノン共鳴

- $\pm z$ 方向に電子波動関数を“揺する”ことで x 方向に実効的な交流磁場を生成
- y 方向の磁場勾配によって共鳴周波数を制御

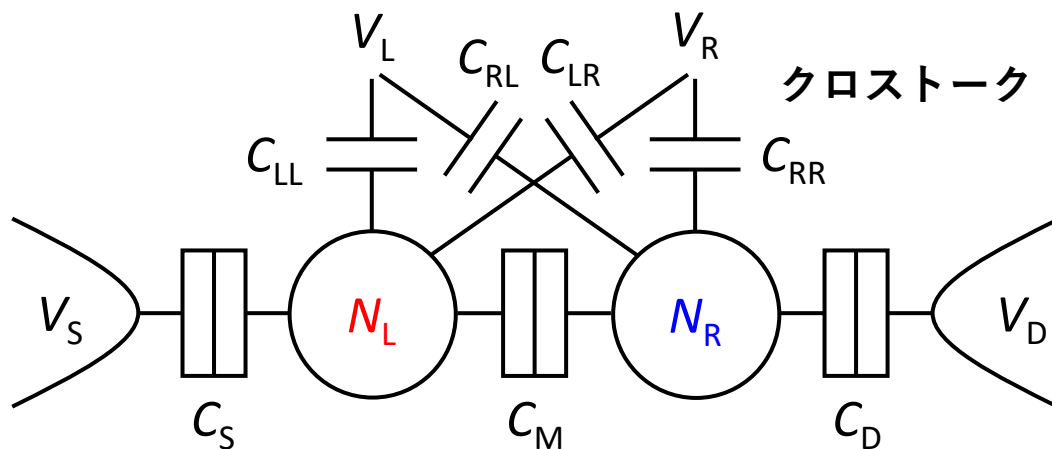
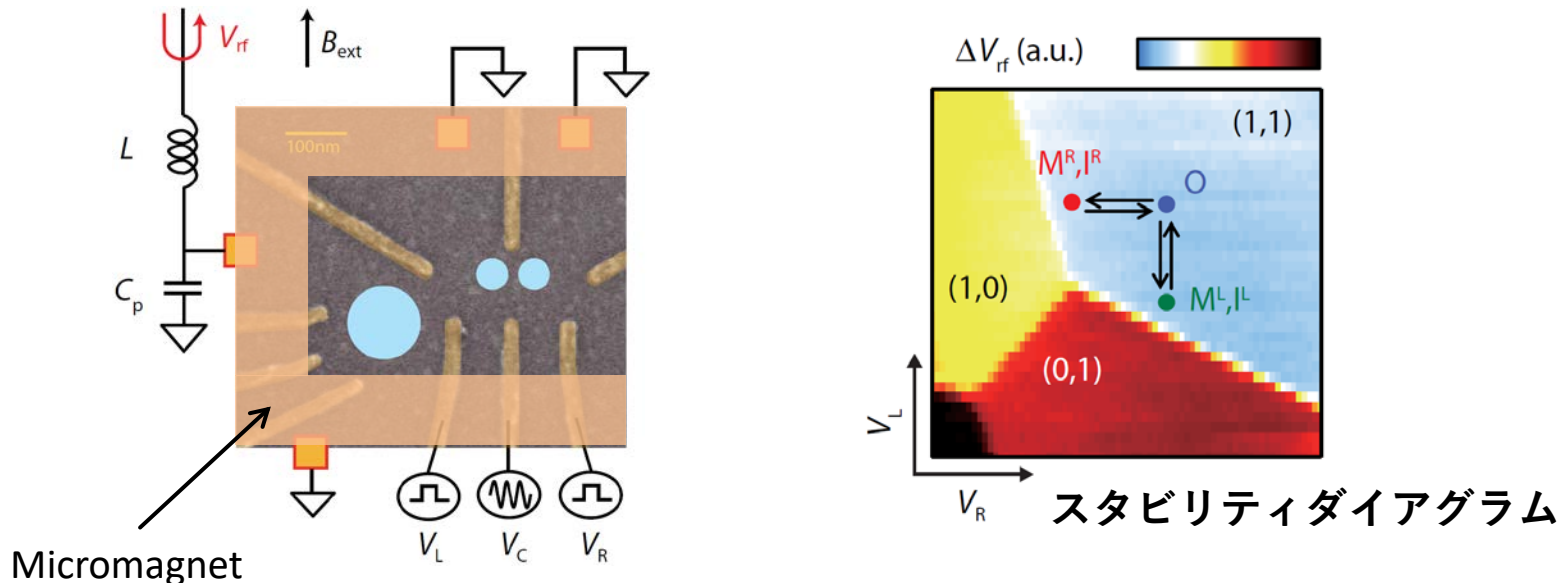


(Theory) Phys. Rev. Lett. **96**, 047202 (2006) Tokura *et al.*

(GaAs QD) Nature Phys. **4**, 776 (2008) Pioro-Ladrière *et al.*

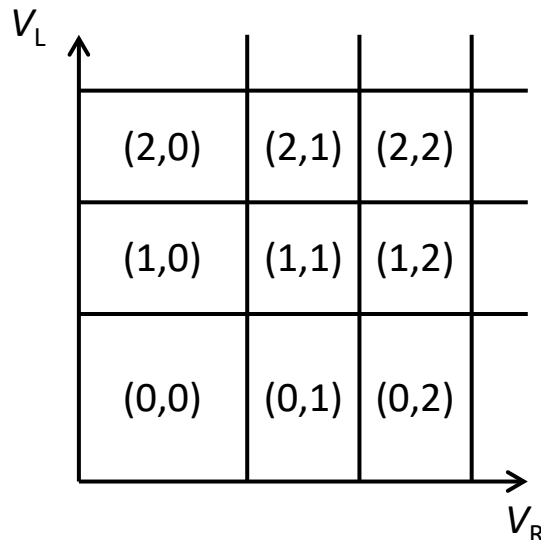
(Magnet design) Appl. Phys. Express **8**, 084401 (2015) Yoneda *et al.*

2重量子ドット



スタビリティダイアグラム

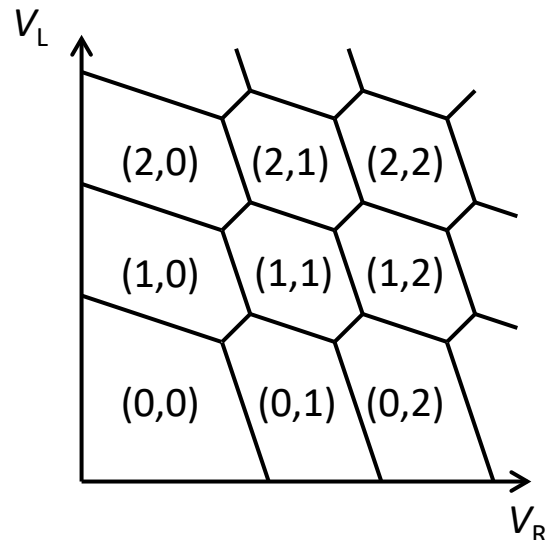
$C_M \rightarrow 0$



弱結合

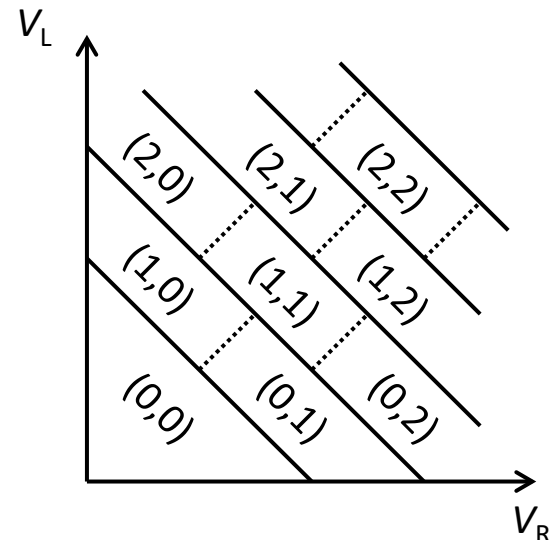
独立のドットとして
振る舞う

$C_M \gg C_{S,D,LL,RR,LR,RL}$



ハニカム構造

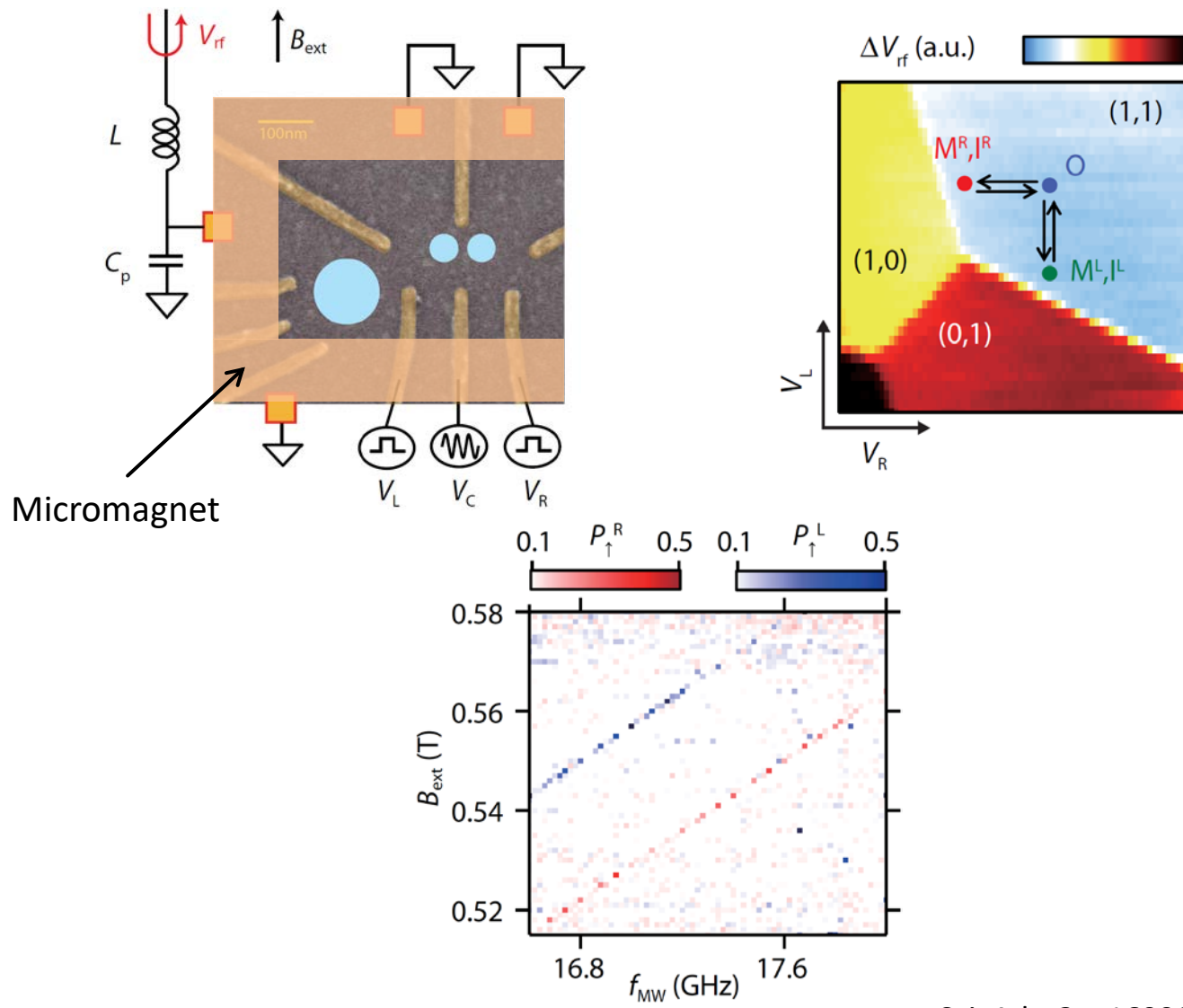
相互に影響しあう



強結合

1つのドットとして
振る舞う

共鳴周波数の分離



A programmable two-qubit quantum processor in silicon

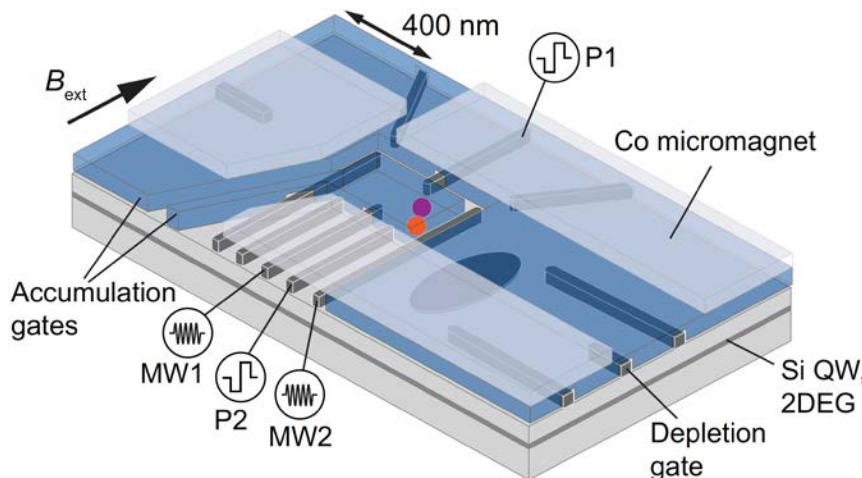
T. F. Watson¹, S. G. J. Philips¹, E. Kawakami¹, D. R. Ward², P. Scarlino¹, M. Veldhorst¹, D. E. Savage², M. G. Lagally², Mark Friesen², S. N. Coppersmith², M. A. Eriksson² & L. M. K. Vandersypen¹

量子ドット系ではじめてドイチェ・ジョザ, グローバーのアルゴリズムを実行

Experimental realization of a quantum algorithm

Isaac L. Chuang*, Lieven M. K. Vandersypen†, Xinlan Zhou†,
Debbie W. Leung‡ & Seth Lloyd§

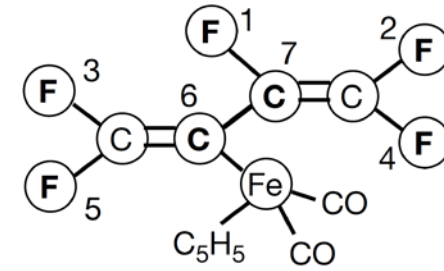
Nature 393, 143 (1998) Chuang *et al.*



Experimental realization of Shor's quantum factoring algorithm using nuclear magnetic resonance

Lieven M. K. Vandersypen*†, Matthias Steffen*†, Gregory Breyta*,
Costantino S. Yannoni†, Mark H. Sherwood* & Isaac L. Chuang*†

Nature 414, 883 (2001) Vandersypen *et al.*



Nature 555, 633 (2018) Watson *et al.*

Spectroscopy

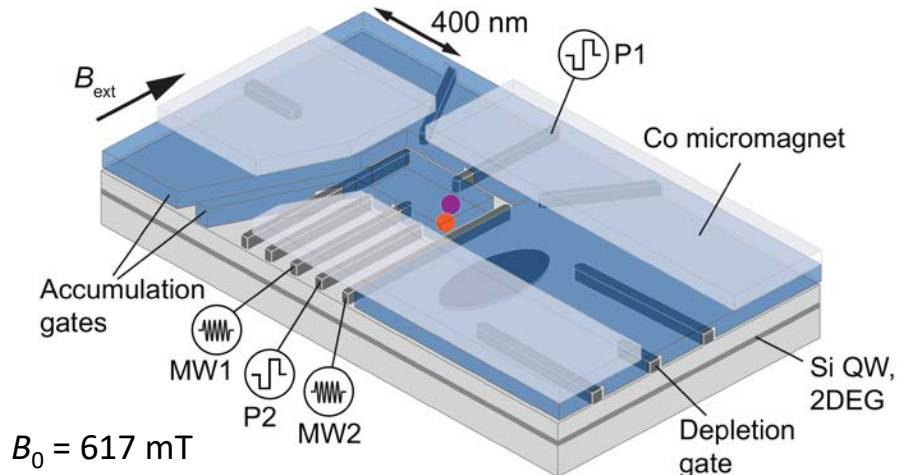
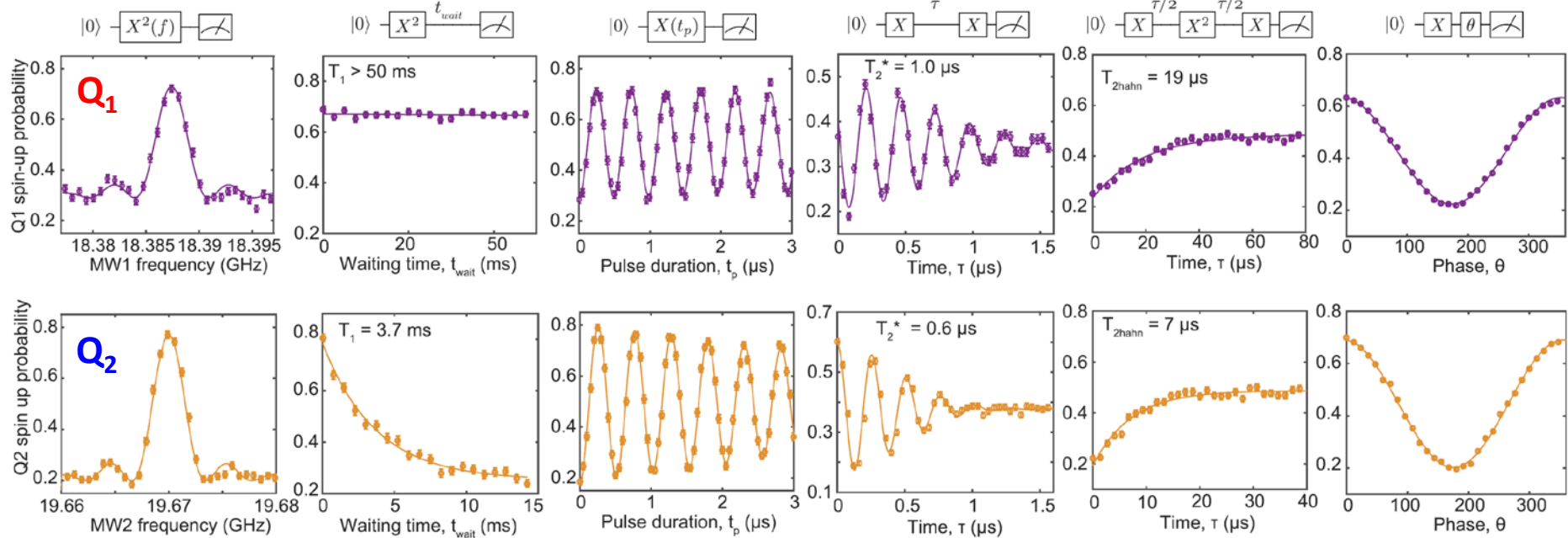
T_1

Rabi

Ramsey

T_2

2-axis control

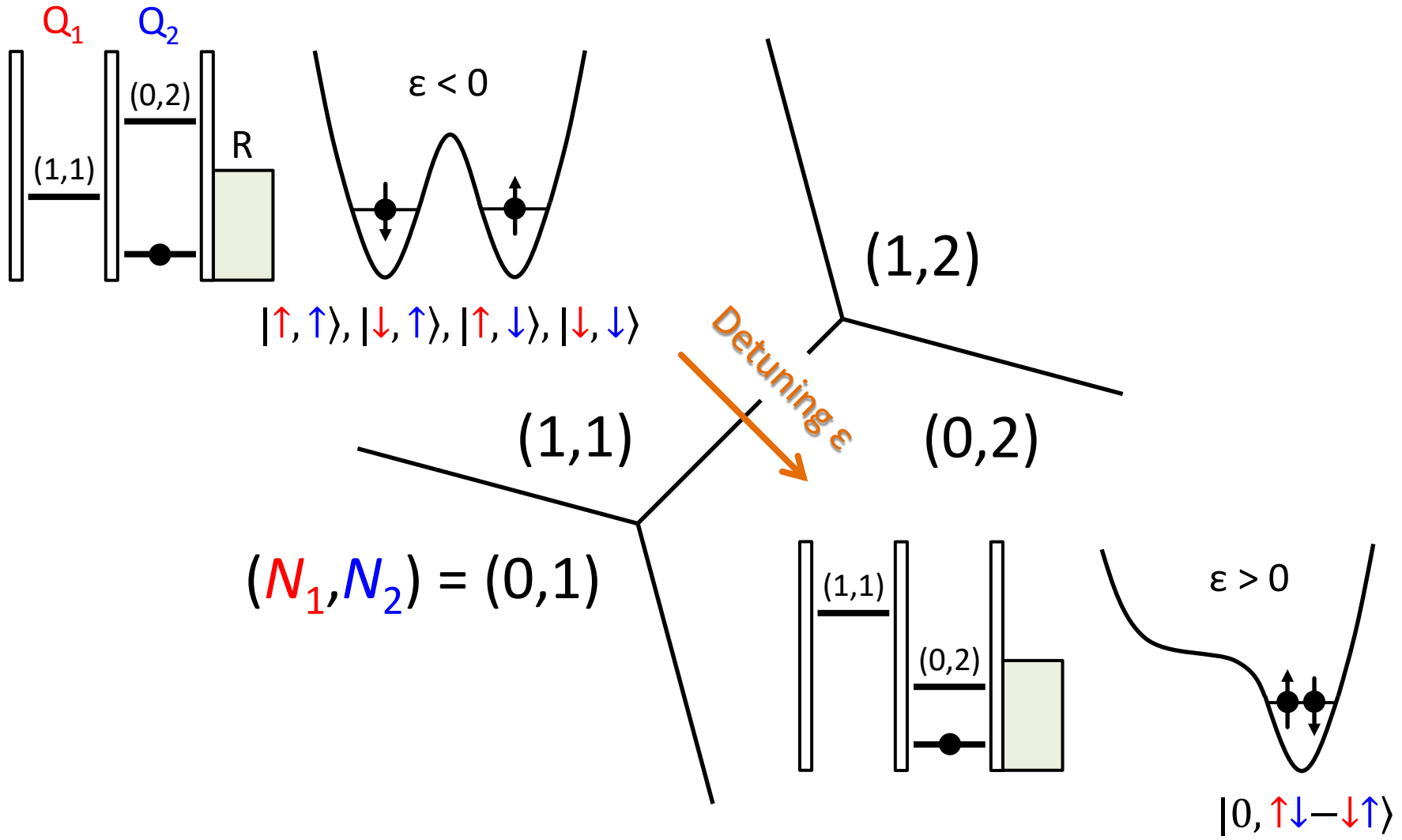


Encode

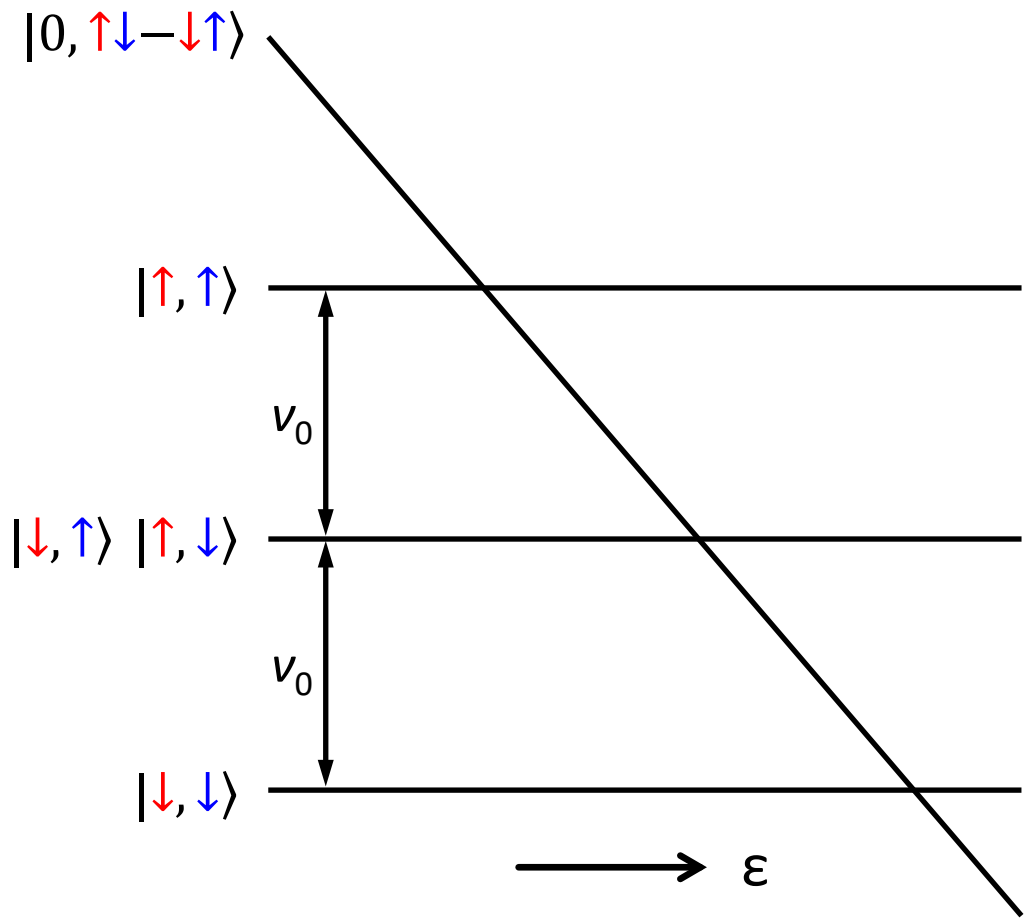
$$|\downarrow\rangle \equiv |0\rangle$$

$$|\uparrow\rangle \equiv |1\rangle$$

2電子狀態



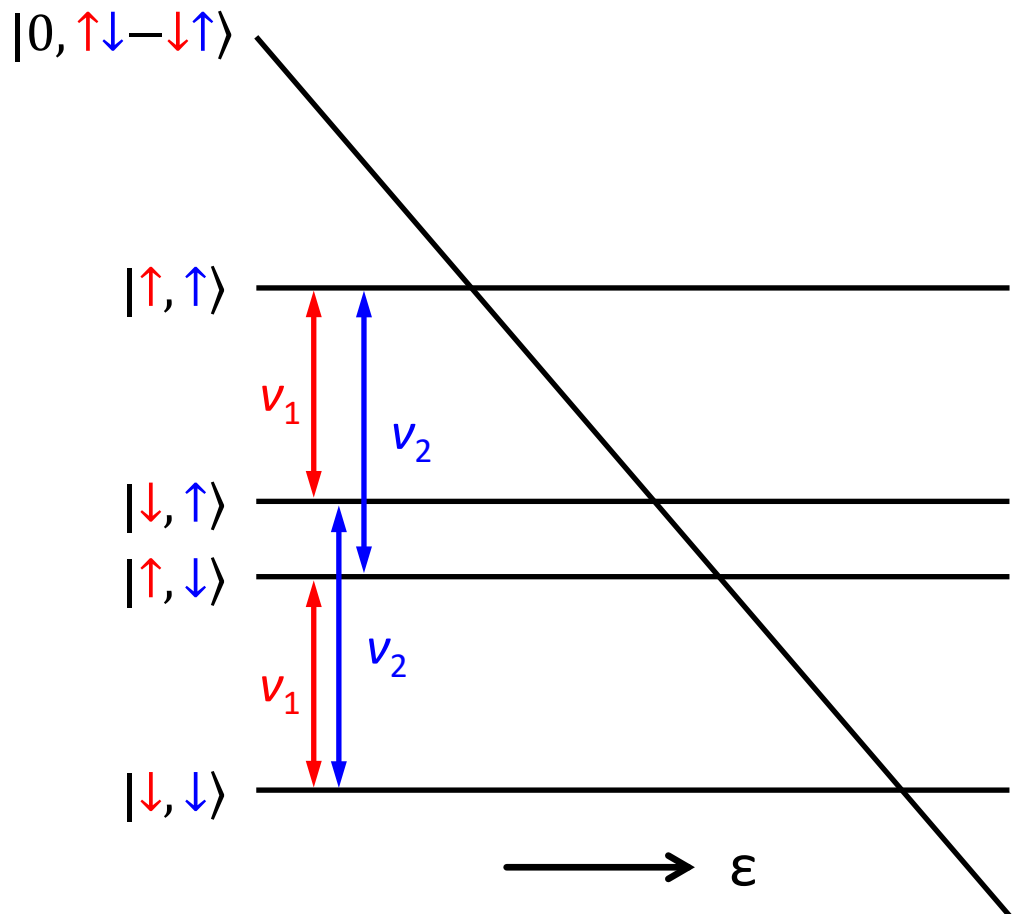
2電子状態



ゼーマン効果のみの場合

$$\nu_0 \approx 17.3 \text{ GHz} @ B_0 = 617 \text{ mT}$$

2電子状態



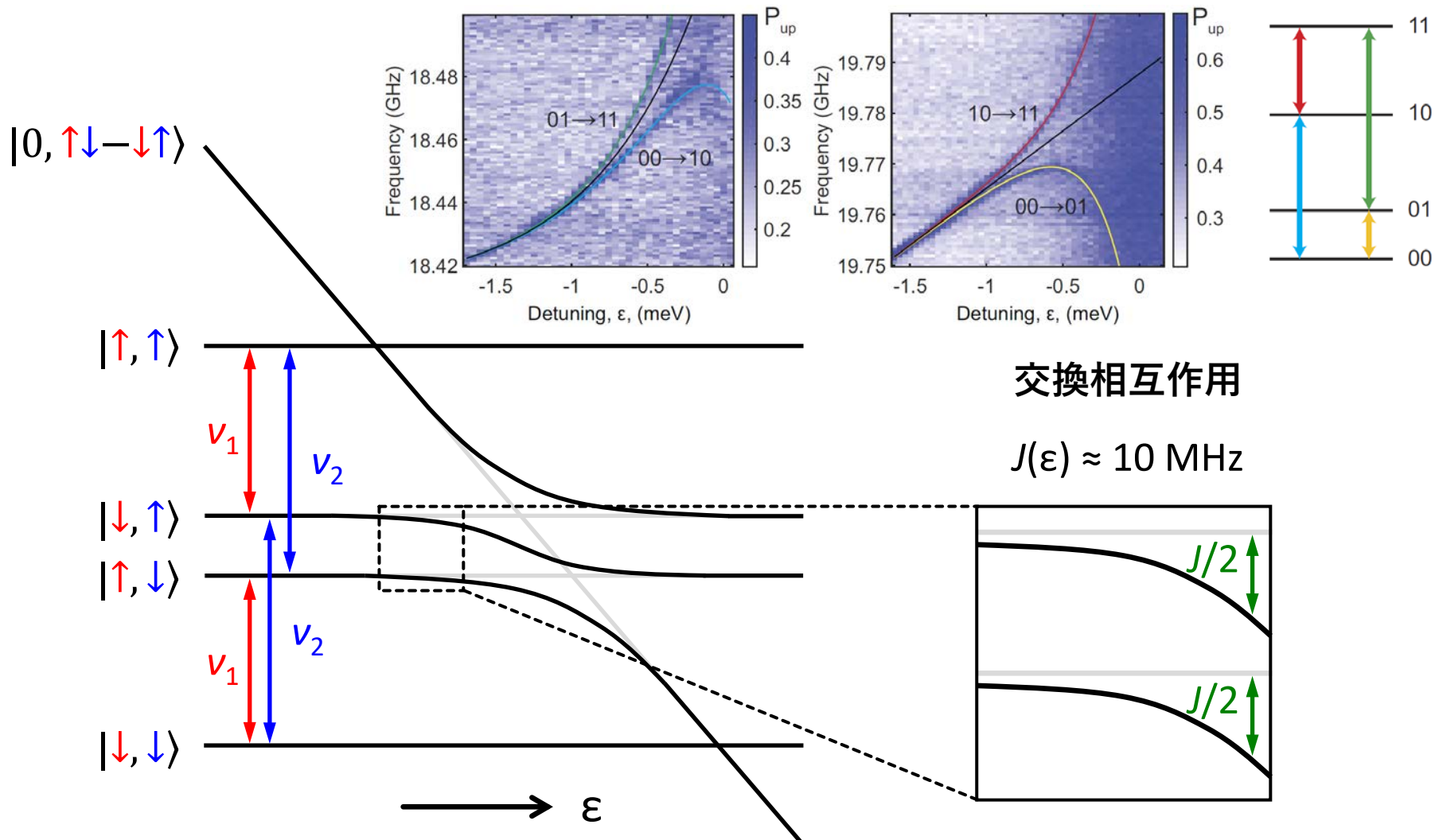
マイクロマグネットあり

- $v_1 = 18.4 \text{ GHz}$
- $v_2 = 19.7 \text{ GHz}$

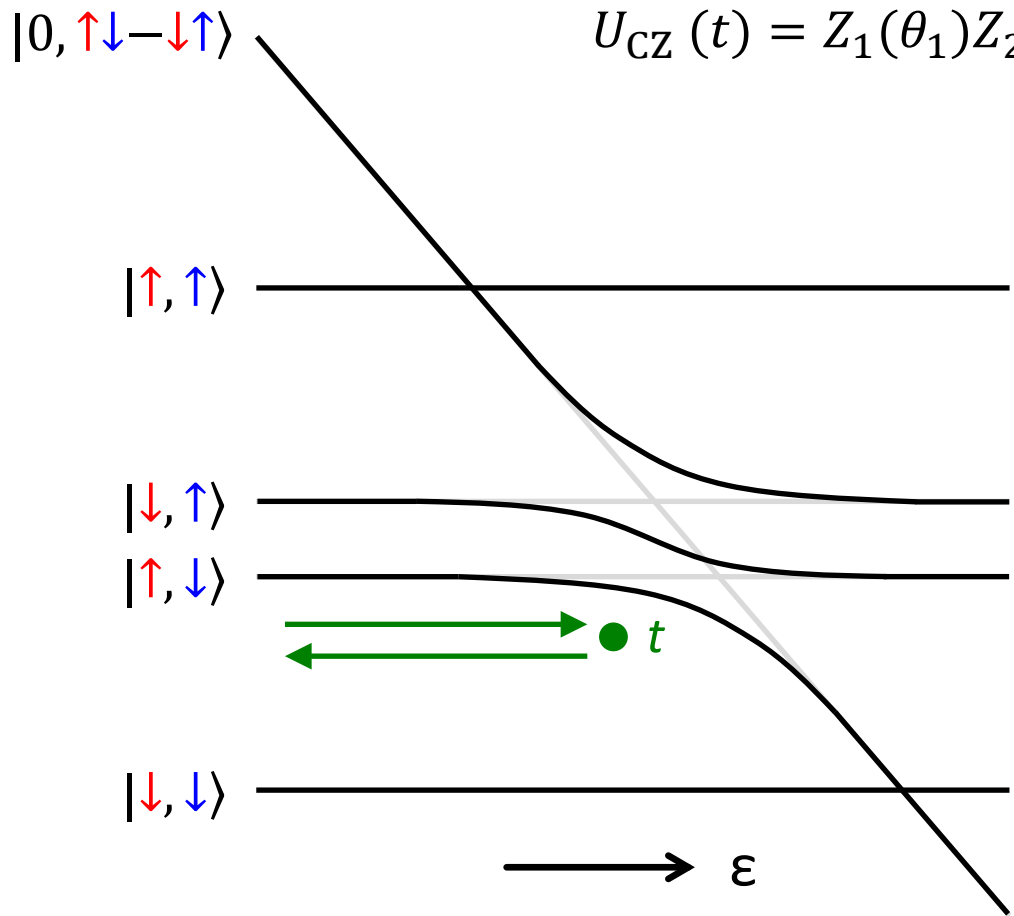
他にも

- 閉じ込め
- シュタルク効果
- 異方性
- 歪 etc

2電子状態

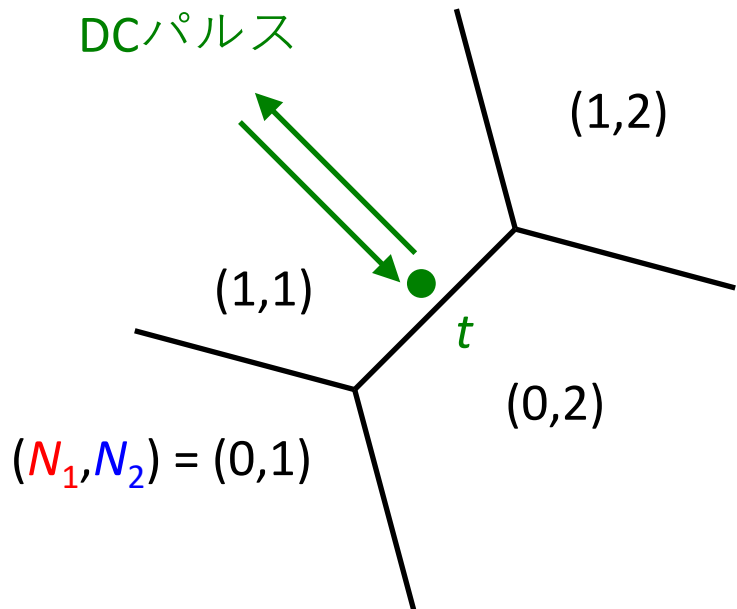


CZゲート

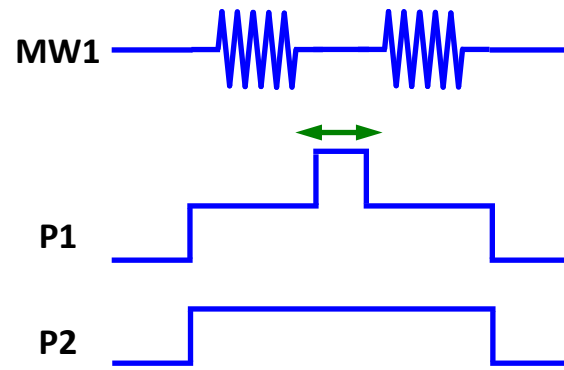
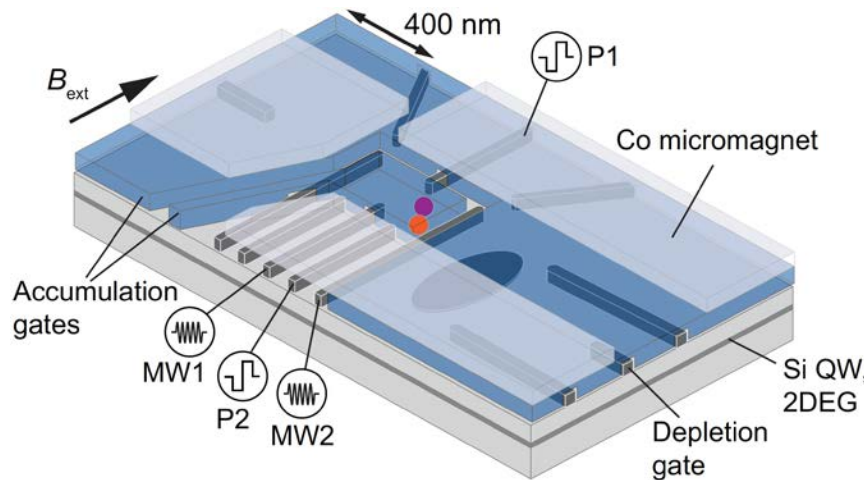
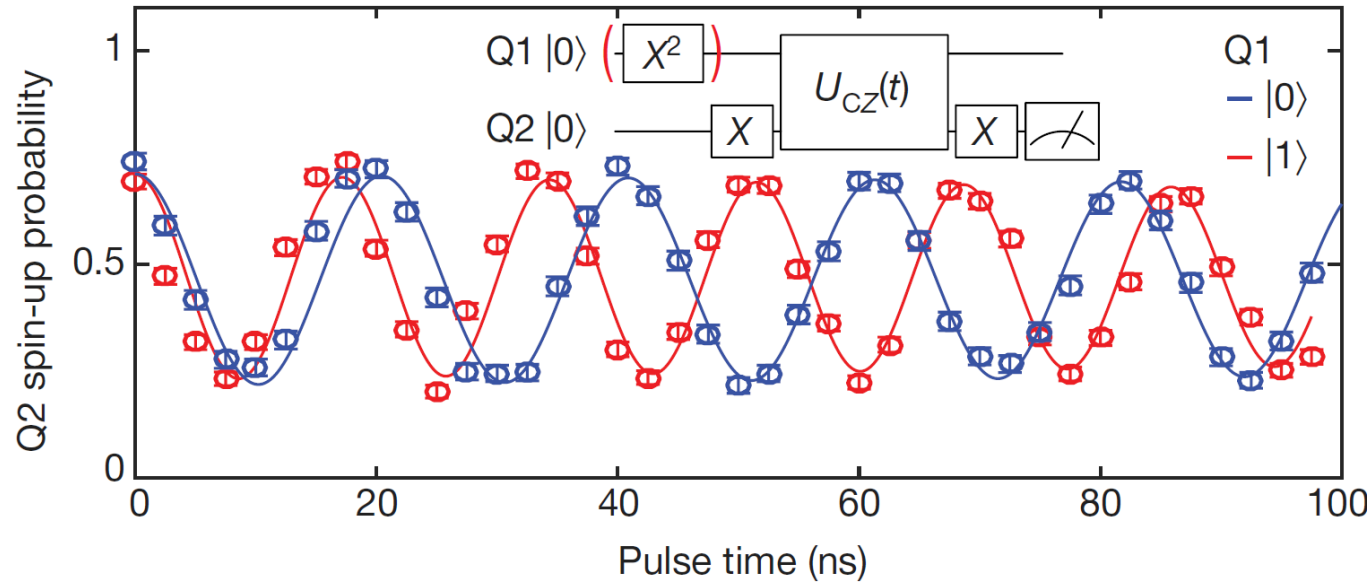


$$U_{\text{CZ}}(t) = Z_1(\theta_1)Z_2(\theta_2)$$

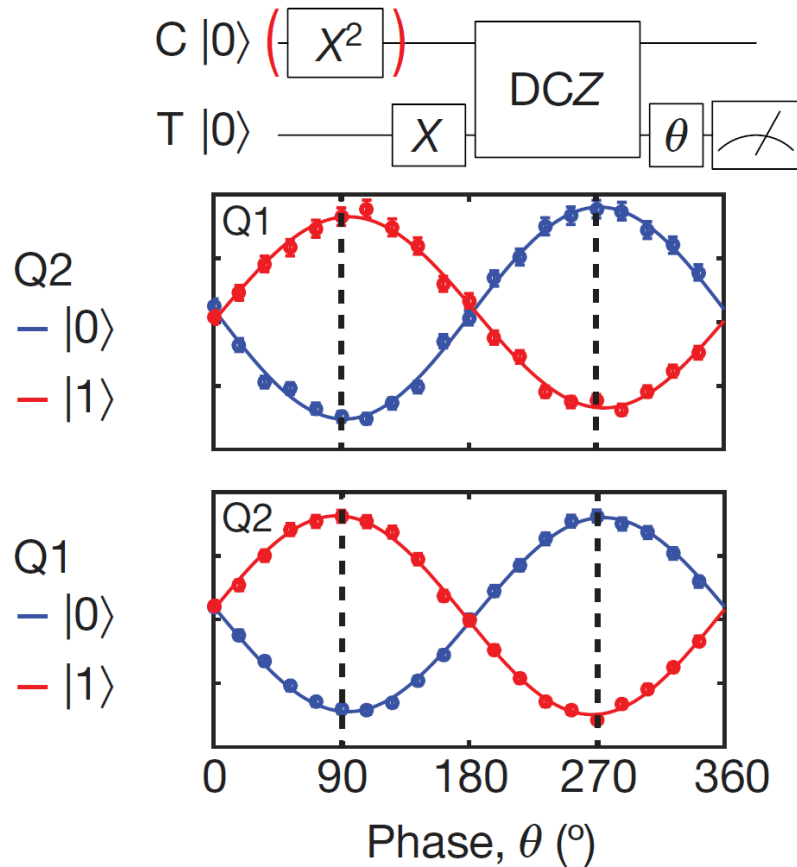
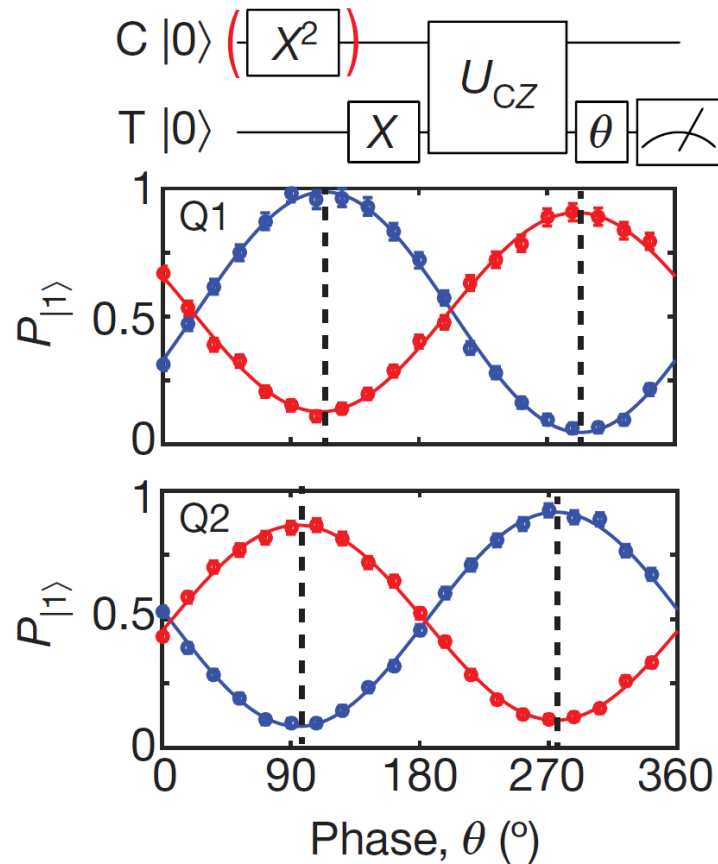
$$\begin{bmatrix} 1 & 0 & 0 & 0 \\ 0 & e^{i\pi Jt/2} & 0 & 0 \\ 0 & 0 & e^{i\pi Jt/2} & 0 \\ 0 & 0 & 0 & 1 \end{bmatrix}$$



CZゲート



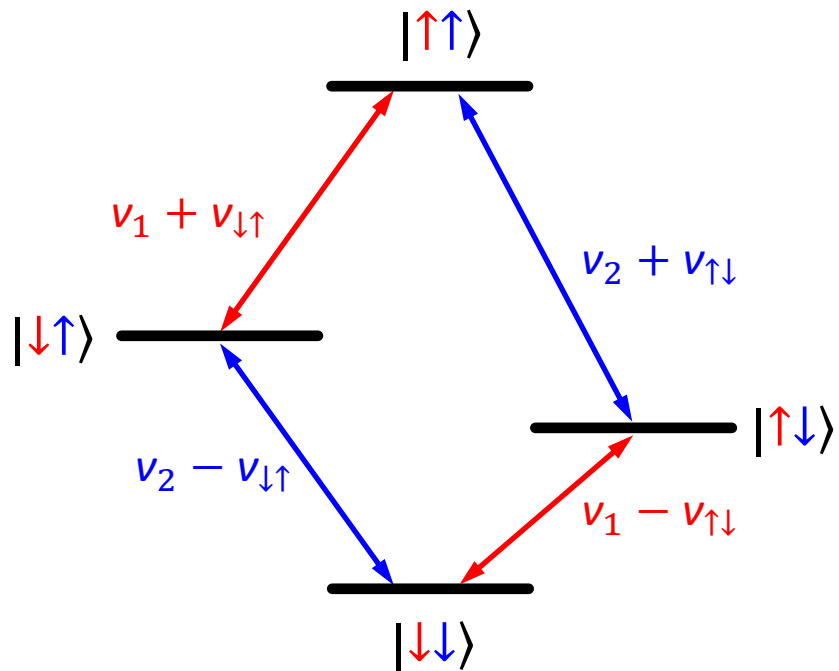
CZゲート



$$DCZ = U_{CZ} \left(\frac{1}{2J}\right) X_1^2 X_2^2 U_{CZ} \left(\frac{1}{2J}\right)$$

CROTゲート

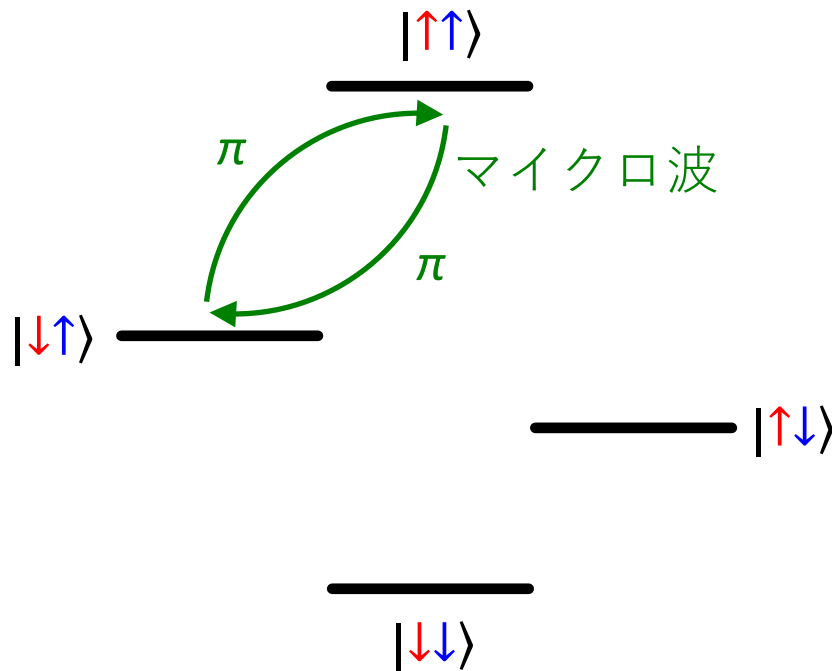
- $\varepsilon \rightarrow 0$ では全ての遷移が異なる周波数を持つ



CROTゲート

- $\varepsilon \rightarrow 0$ では全ての遷移が異なる周波数を持つ
- 選択励起の π パルスにより2量子ビットゲートが実現可能

e.g. CNOTゲート

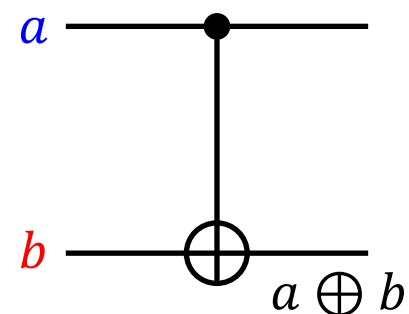


$$|TC\rangle = |\uparrow\uparrow\rangle = |11\rangle \longrightarrow |01\rangle$$

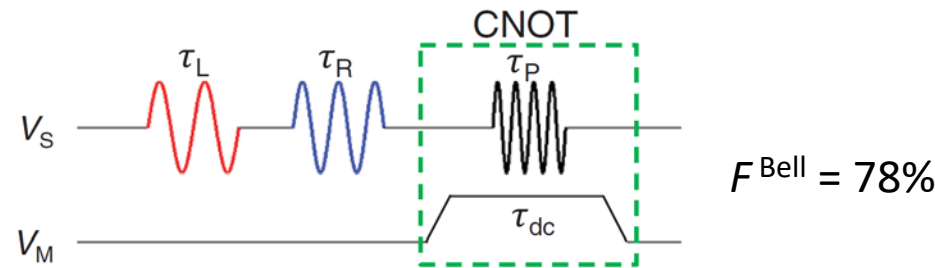
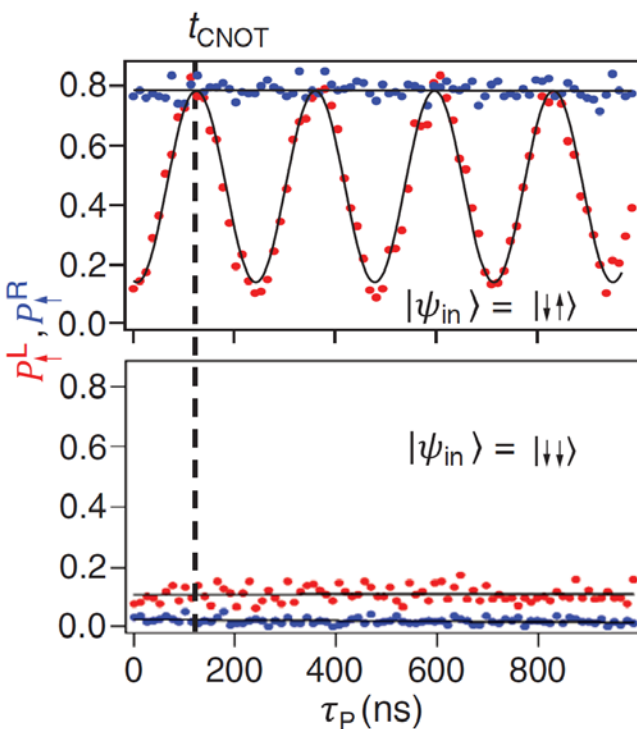
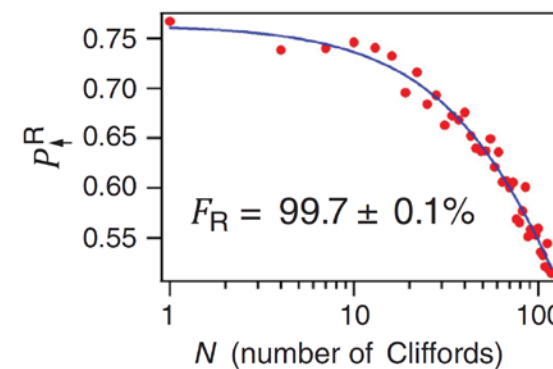
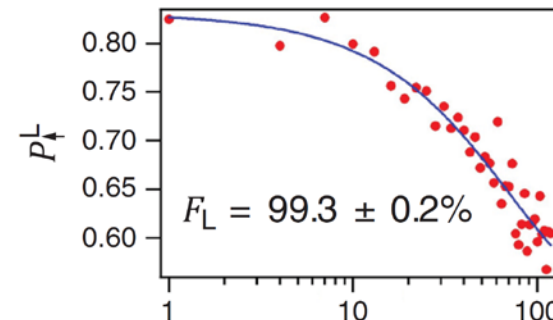
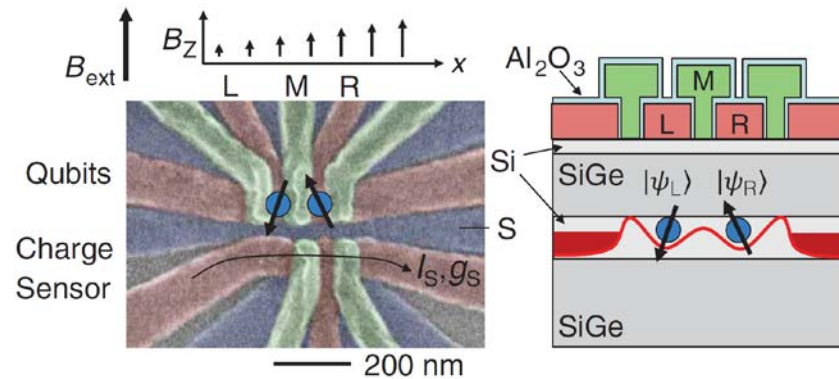
$$|\uparrow\downarrow\rangle = |10\rangle \longrightarrow |10\rangle$$

$$|\downarrow\uparrow\rangle = |01\rangle \longrightarrow |11\rangle$$

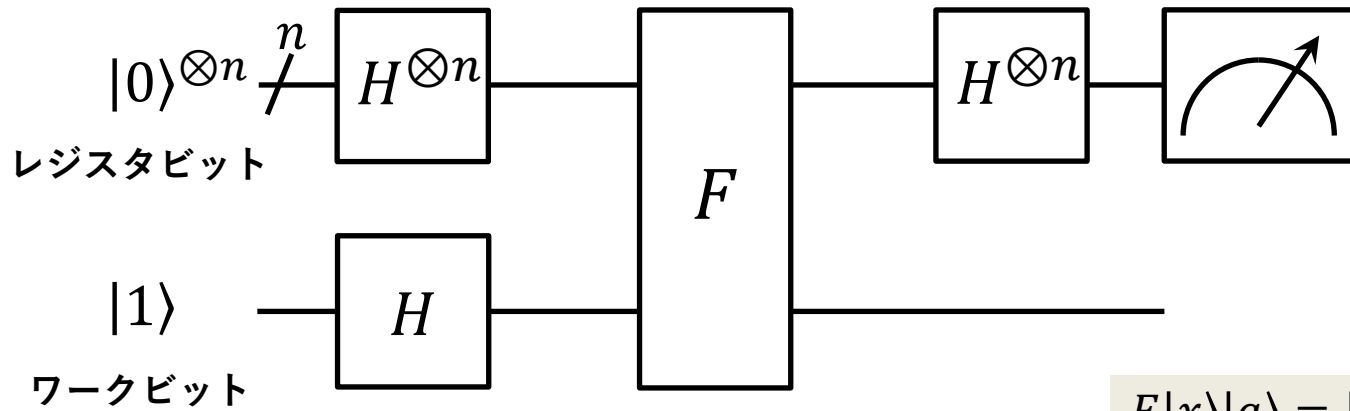
$$|\downarrow\downarrow\rangle = |00\rangle \longrightarrow |00\rangle$$



CNOTゲート



ドイチエ・ジョザのアルゴリズム



$$F|x\rangle|a\rangle = |x\rangle|a \oplus f(x)\rangle$$

$$|0 \oplus f(x)\rangle - |1 \oplus f(x)\rangle = (-1)^{f(x)}(|0\rangle - |1\rangle)$$

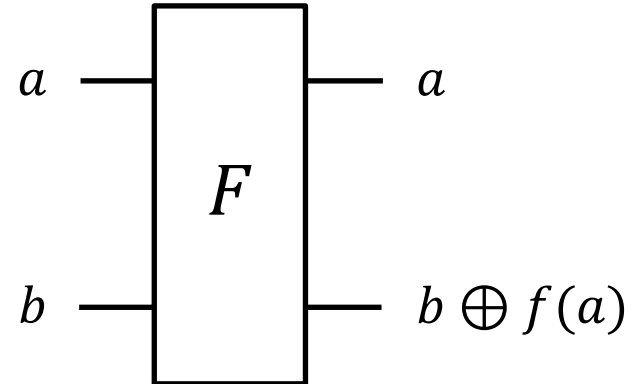
$$\frac{1}{\sqrt{2^n}} \sum_x |x\rangle \left(\frac{|0\rangle - |1\rangle}{\sqrt{2}} \right) \xrightarrow{F} \frac{1}{\sqrt{2^n}} \sum_x (-1)^{f(x)} |x\rangle \left(\frac{|0\rangle - |1\rangle}{\sqrt{2}} \right)$$

$$\xrightarrow{(H^{\otimes n}) \otimes I} \sum_{x,y} \frac{(-1)^{f(x)+x \cdot y}}{2^n} |y\rangle \left(\frac{|0\rangle - |1\rangle}{\sqrt{2}} \right)$$

$f(x)$ がconstantのときRB
は確率1で $|0\rangle^{\otimes n}$ に戻る

1ビットの F ゲート

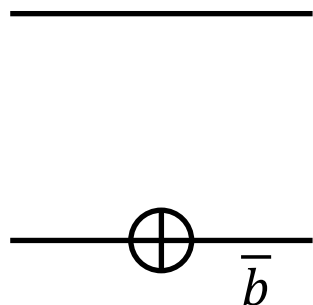
a	constant		balanced	
	f_{c0}	f_{c1}	f_{b0}	f_{b1}
0	0	1	0	1
1	0	1	1	0



f_{c0}

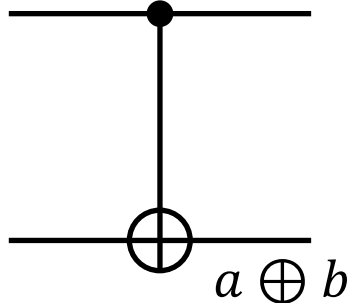


f_{c1}

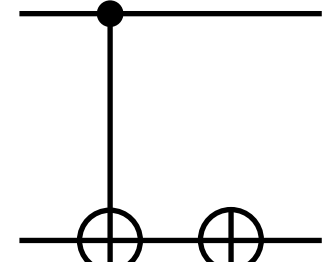


NOTゲート

f_{b0}

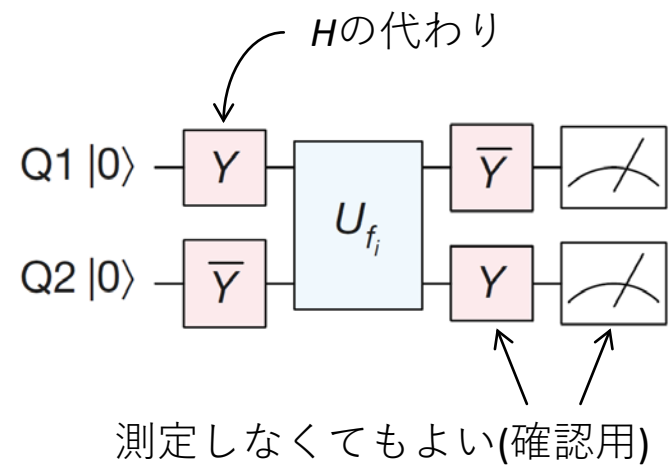
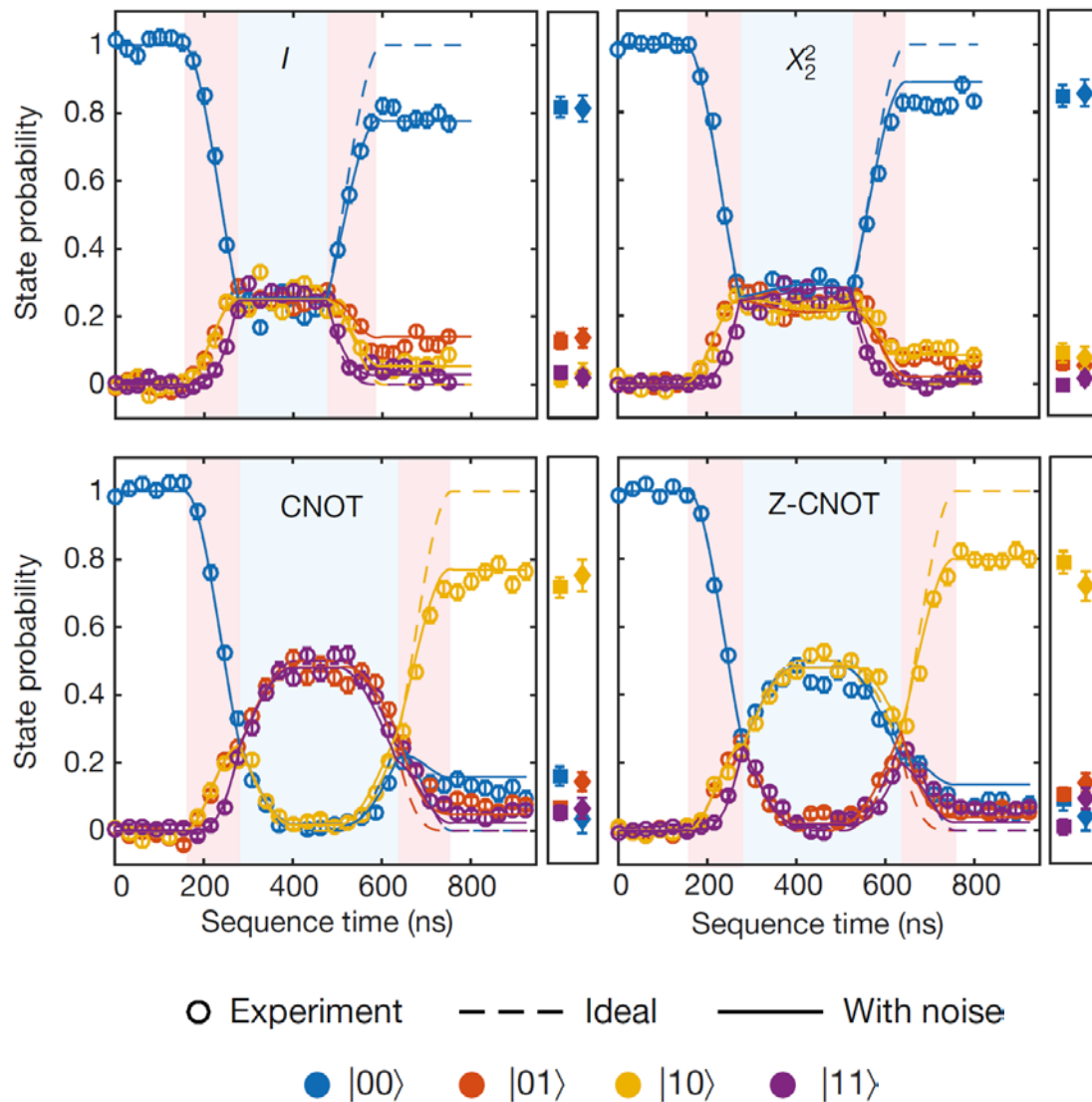


f_{b1}



制御NOTゲート

ドイチェ・ジョザアルゴリズムの実行



シリコンスピニ系実験の現状

方式	1量子ビット	2量子ビット	多量子ビット化
単一リンドナー	$T_{2e}^{\text{CPMG}} = 559 \text{ ms}$ $T_{2n+}^{\text{CPMG}} = 35.6 \text{ s}$ $F_{2n+} = 99.99\% \text{ (*1)}$	$F^{e-e} = \text{N/A}$ cf. $F^{\text{Bell}, e-n} = 97\% \text{ (*5)}$	"フリップフロップ"量子ビット (*8)
MOS量子ドット	$T_2^{\text{CPMG}} = 28 \text{ ms} \text{ (*2)}$ $F^{\text{RB}} = 99.957\% \text{ (*3)}$	$F^{\text{Bell}} = 89\%$ $F^{\text{RB}} = 98\% \text{ (*6)}$	CMOS/DRAM技術との融合 (*9,10)
Si/SiGe量子ドット	$T_2^{\text{CPMG}} = 3.1 \text{ ms}$ $F^{\text{RB}} = 99.926\% \text{ (*4)}$	$F^{\text{Bell}} = 89\% \text{ (*7)}$	スピン-MW光子結合による回路QED (*11,12)

$T_{2e, 2n+}$: T_2 of the electron spin bound to the donor (${}^{31}\text{P}^0$) or of the nuclear spin of the ionized donor (${}^{31}\text{P}^+$)

$F^{\text{RB(Bell)}}$: Fidelity deduced from randomized benchmarking (state tomography of a Bell state)

$F^{\text{Bell}, e-n}$: Fidelity of a Bell state between electron and nuclear spins within the same donor

*1: Nature Nano. **9**, 986 (2014) Muhonen *et al.*

*2: Nature Nano. **9**, 981 (2014) Veldhorst *et al.*

*3: arXiv:1807.09500 Yang *et al.*

*4: Nature Nano. **13**, 102 (2018) Yoneda *et al.*

*5: Nature Nano. **11**, 242 (2016) Dehollain *et al.*

*6: arXiv:1805.05027 Huang *et al.*

*7: Nature **555**, 633 (2018) Watson *et al.*

*8: Nature Commun. **8**, 450 (2017) Tosi *et al.*

*9: Nature Commun. **8**, 1766 (2017) Veldhorst *et al.*

*10: arXiv:1711.03807 Li *et al.*

*11: Nature **555**, 599 (2018) Mi *et al.*

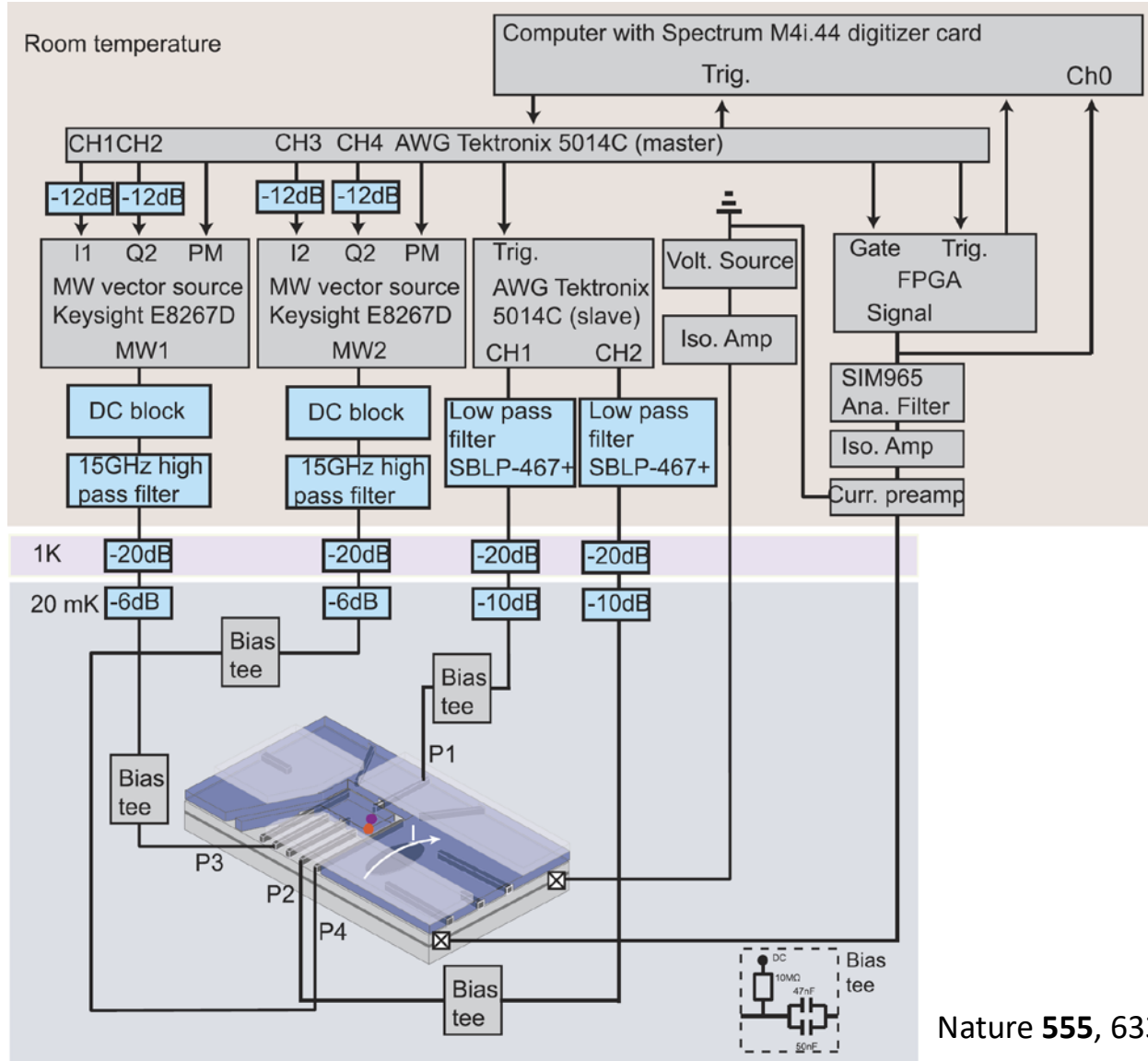
*12: Science **359**, 1123 (2018) Samkharadze *et al.*

シリコンスピニ系実験の現状

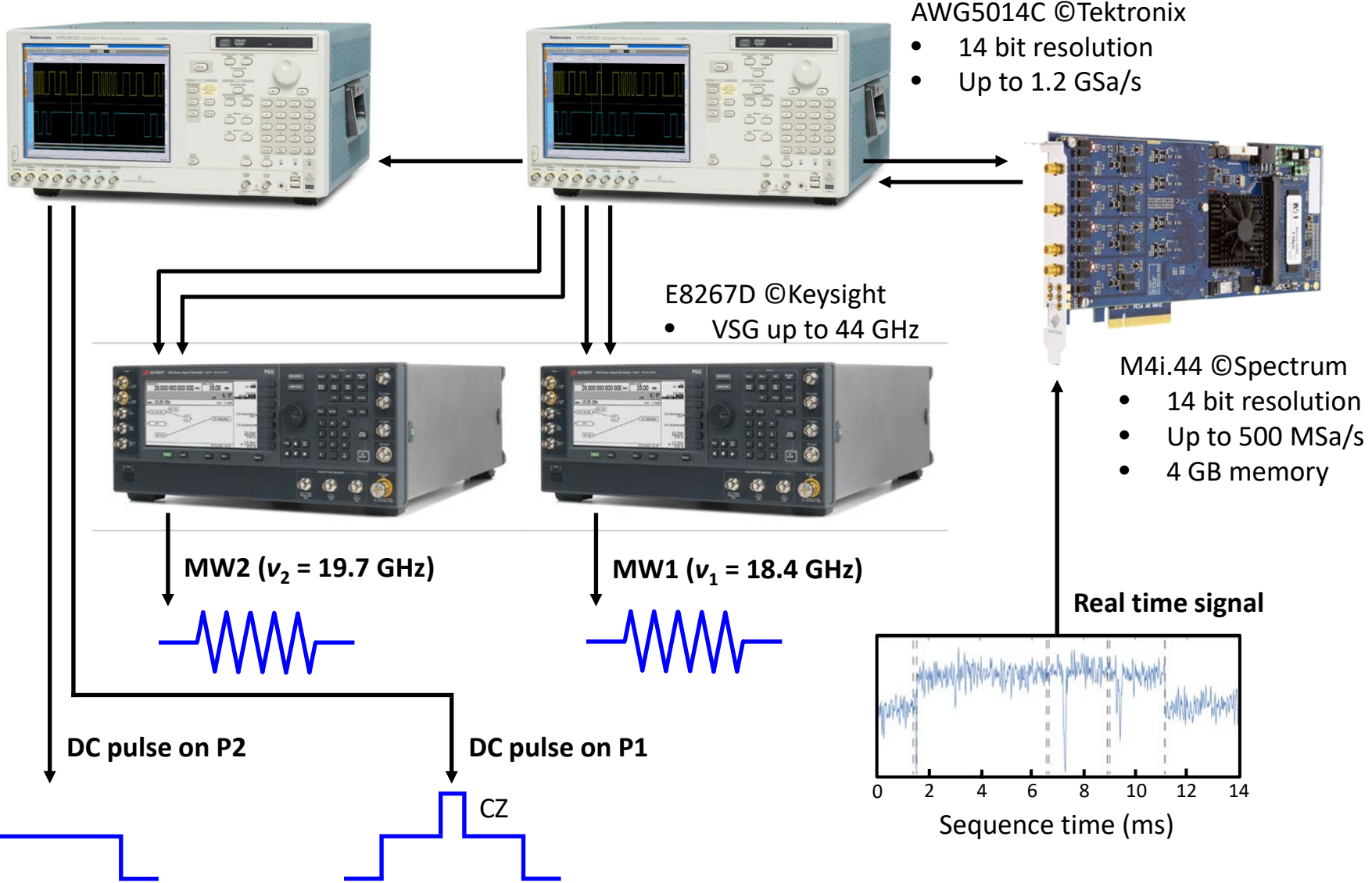
方式	1量子ビット	2量子ビット	多量子ビット化
單一リンドナー	$T_{2e}^{\text{CPMG}} = 559 \text{ ms}$ $T_{2n+}^{\text{CPMG}} = 35.6 \text{ s}$ $F_{2n+} = 99.99\% (*1)$	$F^{e-e} = \text{N/A}$ cf. $F^{\text{Bell}, e-n} = 97\% (*5)$	“フリップフロップ” 量子ビット (*8)
MOS量子ドット	$T_2^{\text{CPMG}} = 28 \text{ ms} (*2)$ $F^{\text{RB}} = 99.957\% (*3)$	$F^{\text{Bell}} = 89\%$ $F^{\text{RB}} = 98\% (*6)$	CMOS/DRAM技術 との融合 (*9,10)
Si/SiGe量子ドット	$T_2^{\text{CPMG}} = 3.1 \text{ ms}$ $F^{\text{RB}} = 99.926\% (*4)$	$F^{\text{Bell}} = 89\% (*7)$	スピン-MW光子結合 による回路QED (*11,12)

とはいえ、数字だけに囚われないようにしましょう

セットアップ



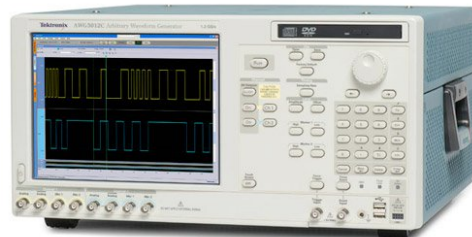
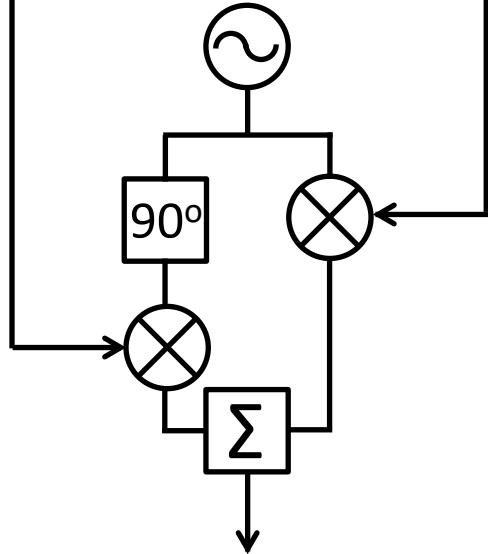
セットアップ(室温)



IQ変調によるパルス生成

$$I(t) = A(t) \cos(2\pi\nu_m t + \theta)$$

$$Q(t) = A(t) \sin(2\pi\nu_m t + \theta)$$

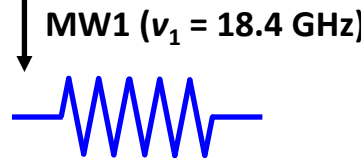


AWG5014C ©Tektronix

- 14 bit resolution
- Up to 1.2 GSa/s



E8267D ©Keysight
• VSG up to 44 GHz



$$I(t) \cos(2\pi\nu_{\text{LO}} t) - Q(t) \sin(2\pi\nu_{\text{LO}} t) = A(t) \cos[2\pi(\nu_{\text{LO}} + \nu_m)t + \theta]$$

今後は…



M9383A etc ©Keysight

- VSG up to 40 GHz



M3302A etc ©Keysight

- 500 MSa/s, 16bit AWG
- 500 MSa/s, 14 bit digitizer

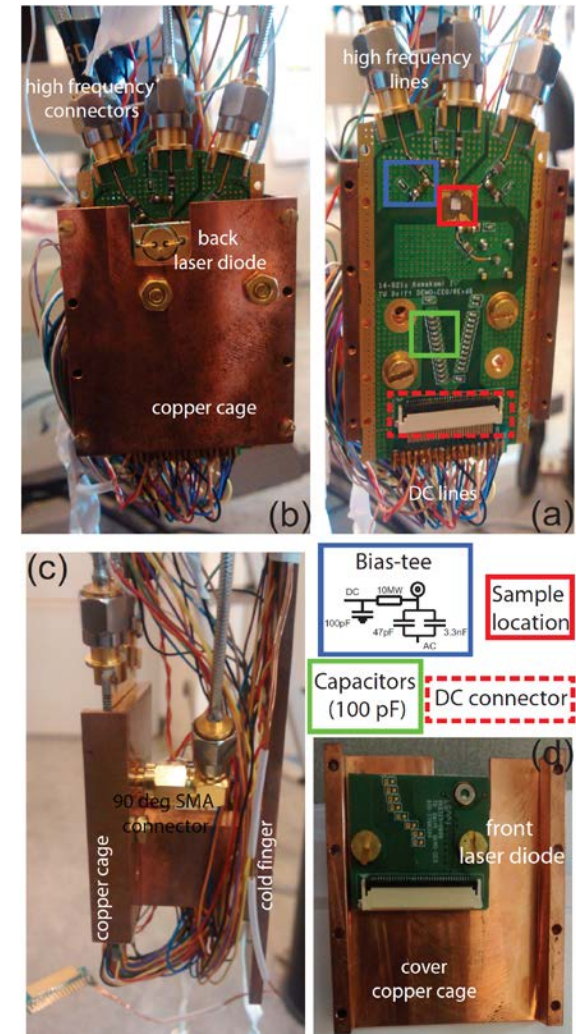
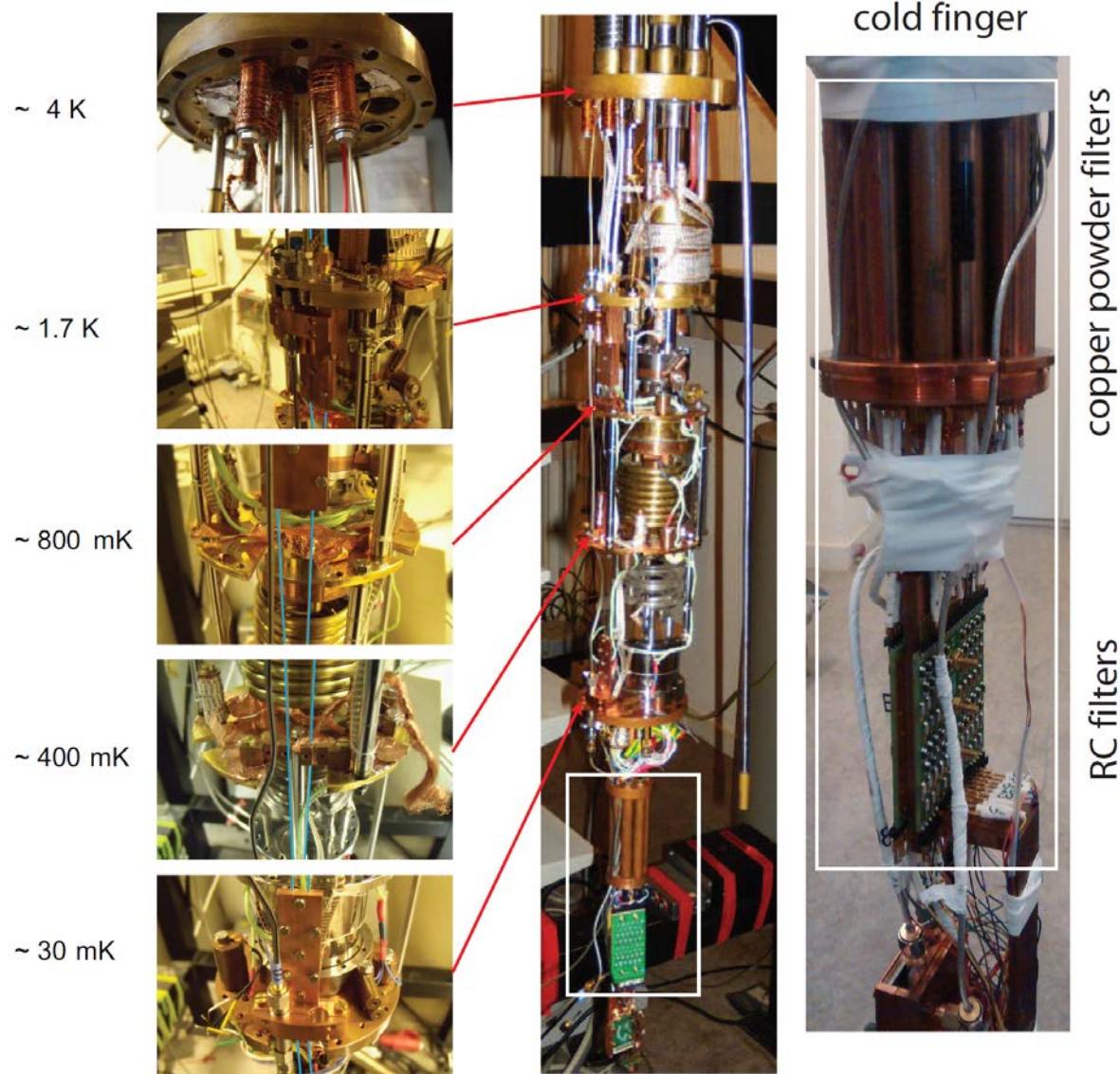


M9019A ©Keysight

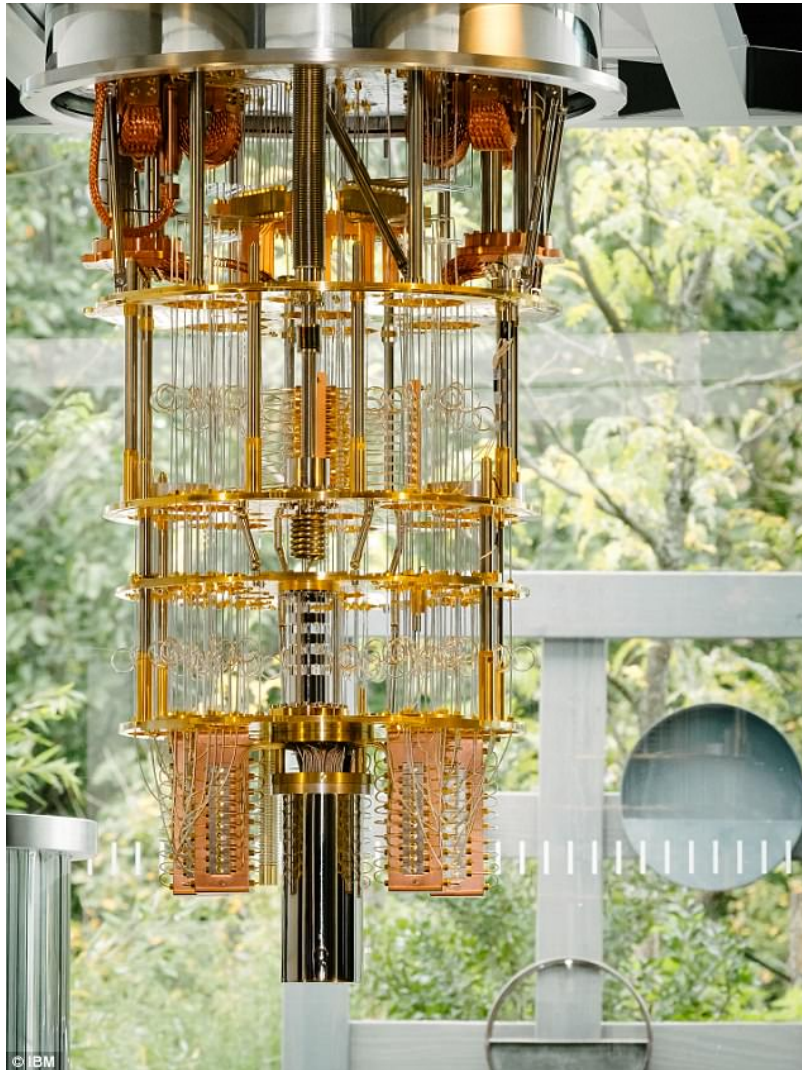
- 18-slot chassis

量子技術の発展のためには既存エレクトロニクスの発展も重要
(Keysightの回し者ではありません)

セットアップ(低温)



希釈冷凍機



©IBM

← “見慣れた”無冷媒型

超伝導量子回路実験との違い

- 磁場高め・周波数高め
- ゲート電極用のDCラインが多数必要

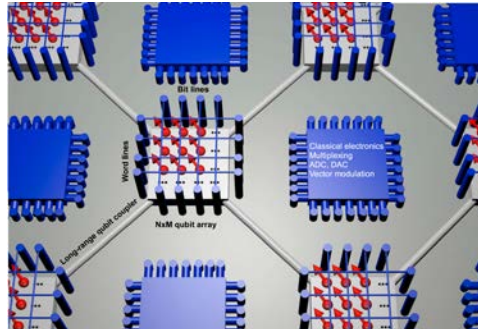
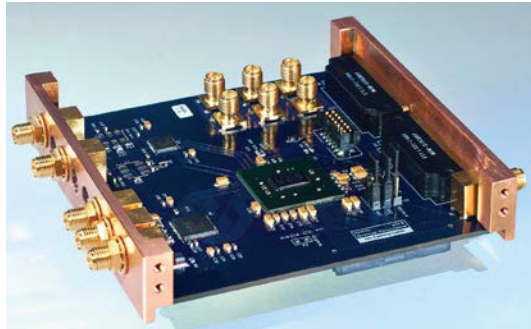


“現場希望者”は
ご一読を…

(これに高周波技術を足した
本があると素晴らしい...)

(スピノン系に特有の)展望

エレクトロニクスの低温動作 and/or 量子ビットの高温動作



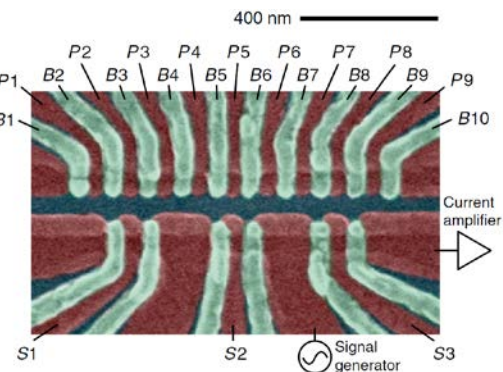
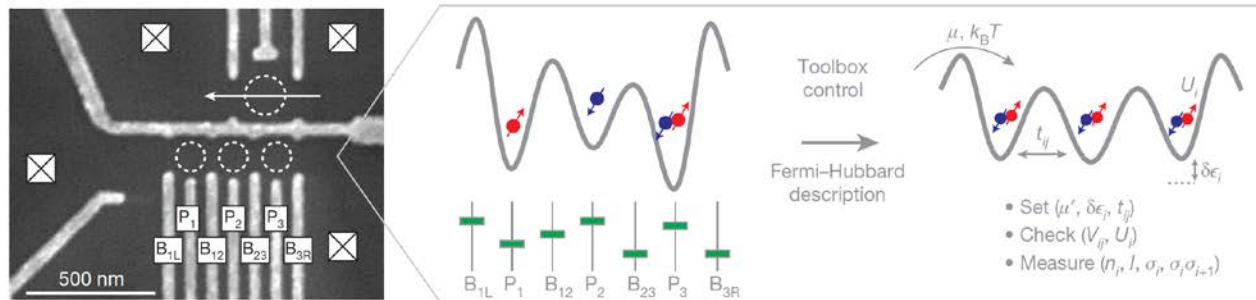
arXiv:1803.01774 Petit *et al.*

arXiv:1804.03364 Ono *et al.*

npj Quant. Info. **1**, 15011 (2015) Reilly

npj Quant. Info. **3**, 34 (2017) Vandersypen *et al.*

フェルミオン系の量子シミュレーション



Nature **548**, 70 (2017) Hensgens *et al.*

Phys. Rev. Appl. **6**, 054013 (2016) Zajac *et al.*